

(      )

INTERSTATE COUNCIL FOR STANDARDIZATION, METROLOGY AND CERTIFICATION  
(ISC)

# **CISPR 16-1-2— 2016**

**1-2**

**(CISPR 16-1-2:2014, IDT)**



и  
2017

## CISPR 16-1-2—2016

1.0—2015 «  
» 1.2—2015 «

1 « ) »  
» ( ) 30 « , » 5  
2 ( )  
3 , ( 29 2016 . 85- )

( 3166) 004—97	( 3166) 004—97	
	AM BY KZ KG RU TJ	

4 2016 . 1458- 20  
CISPR 16-1-2—2016 8  
1 2017 .

5 CISPR 16-1-2:2014 «  
1-2.

» («Specification for radio disturbance and immunity measuring apparatus and methods — Part 1-2: Radio disturbance and immunity measuring apparatus — Coupling devices for conducted disturbance measurements». IDT).

CISPR 16-1-2:2014  
(CISPR) (IEC),  
« ».  
, 2003 ., 1 (2004) 2 (2006)  
CISPR 16-1-2:2014  
a) AAN CISPR 22:  
b) / CDNE  
30 300 ;  
c)

6

7

2017 .

« \_\_\_\_\_ »,  
« \_\_\_\_\_ ».  
— ( ) —  
— , —  
—

© , 2017

,

III

1											1
2											1
3											2
4											4
4.1											4
4.2											4
4.3	V-AMN 50	/50	+ 5				9	150			4
4.4	V-AMN 50	/50				0,15	30				5
4.5	V-AMN 50	/5	+ 1				150	30			6
4.6	V-AMN 150					150	30				8
4.7	vAMN 150					150	30				8
4.8	(	)									9
4.9											10
4.10											10
4.11						V-					11
5											11
5.1											11
5.2											12
6											14
6.1											14
6.2											14
7											15
7.1											15
7.2	AAN (	Y-		)							16
7.3											18
8						RC					19
8.1											19
8.2						RC					19
8.3											20
9	CDNE						30	300			22
9.1											22
9.2						CDNE-X					23
9.3								RGP			27
	(	)						(AMN)			28
	(	)			,						35
	(	)									42
D	(	)									46
	(	)						(AAN)			48
F	(	)						(AN)			53
G	(	)									55
	(	)									
						/	V-				
	(V-AMN)										61
I	(	)						(V-AMN)			62
J	(	)									64
								(CDNE)		,	

(	)	.....	66	
		.....	67	
1 —	( . . 4.3,	( ) V-	9 150 ).....	7
2 —		( ) V-		( . . 4.4) ... 7
3 —		( ) V-		6
4 —	( 150 108 , . 4.5) .....			8
5 —	V-		50 /50 + 5	8
	( . . 4.3 .2) .....			10
6 —	V-		50 /50 ,	
	50 /5 + 1 150 ( . . 4.4, 4.5, 4.6 . , .4 .5 ) . . 10			
7 —			.....	12
8 —	,			13
9 —		30 150 .....		15
10 —		LCL		16
11				21
12 —		(ITE) .....		22
13		—	CDNE .....	25
14			IMA .....	26
15 —			( $Z_{DM}$ ) ... 27	
.1 —		V-AMN 50 /5 + 1 ,		30
.2 —	-AMN			31
. —	50	.....		32
.4 —	BHflAMN .....			32
.5 —	AMN .....			33
.6 —				.. 34
.1 —		.....		36
.2 —		9 .....		37
. —				38
.4 —			AMN .....	39
.5 —	,			40
.6 —				40
.7 —				41
.8 —		Y <sub>T</sub>		41
			,	
		50 ,	(	
		50 ) .....		41
.9 —				... 41
.1 —		,	,	
		,	,	
( . . 1 h D.2) .....				42
.2 —		,	,	
		,	,	
( . . 2 D.2) .....				43
. —		L,	,	
		( . D.2) .....		44
.4 —		S <sub>w</sub> ,	,	
		( . D.2) .....		44
.5 —		,	( . D.2) .....	45
D.1 —		( . D.1) .....		47
			V	

CISPR 16-1-2—2016

**CISPR 16-1-2—2016**

1-2

Specification for radio disturbance and immunity measuring apparatus and methods. Part 1-2. Radio disturbance and immunity measuring apparatus. Coupling devices for conducted disturbance measurements

— 2017—06—01

**1**

— 9 1  
IEC 107 IEC,  
IEC 107 ,  
IEC, 77  
IEC, ,  
,

CISPR.  
CISPR 16-2,  
CISPR 16-3.  
CISPR 16-4.

**2**

).

CISPR 16-1-1:2010 Specification for radio disturbance and immunity measuring apparatus and methods — Part 1-1: Radio disturbances and immunity measuring apparatus — Measuring apparatus

1-1.

CISPR 16-2-1:2014 Specification for radio disturbance and immunity measuring apparatus and methods — Part 2-1: Methods of measurement of disturbances and immunity — Conducted disturbance measurements

2-1.

## CISPR 16-1-2—2016

CISPR 16-4-2:2011 Specification for radio disturbance and immunity measuring apparatus and methods — Part 4-2: Uncertainties, statistics and limit modeling — Measurement instrumentation uncertainty

4-2.

IEC 60050 (all parts) International Electrotechnical Vocabulary

( ).

IEC 61000-4-6:2008 Electromagnetic compatibility (EMC) — Part 4-6: Testing and measurement techniques — Immunity to conducted disturbance, induced by radio-frequency fields

( ). 4-6.

**3**

3.1

IEC 60050,

3.1.1 (ancillary equipment):  
( )

1 —

3.1.2 ; (associated equipment, ):

3.1.3 ( ) (asymmetric voltage):

1 — —

$V_s - V_b - (V_e + V_d)/2$ .

3.1.4 (symmetric voltage):

1 — — (  $V_a - V_b$  ).

3.1.5 (unsymmetric voltage);

$V_b$ , 3.1.3 3.1.4.

1 — —

$V_a - V_b$  —

3.1.4. 2 —  $V_a - V_b$  3.1.3

3.1.6 ; AMN (artificial mains network, AMN):

(V-AMN),  
( -AMN),

1 —

: V-

2 —

«

(LISN)» «V-AMN»

( ).

- 3.1.7 ; AAN (asymmetric artificial network, AAN): , -  
 ) ( ) ( ( ).  
 ) ( ).  
 1 — «Y- » AAN.
- 3.1.8 ; AuxEq (auxiliary equipment, AuxEq): -  
 ,  
 3.1.9 / ; CDN (coupling/decoupling network, CDN): -  
 /  
 3.1.10 / ; CDNE-X (CDNE-X): /  
 30 300 ; «X»  
 « 2» , « 3» — ,  
 , .  
 1 — CDNE-X J.  
 3.1.11 ; (equipment under test, EUT): ( ,  
 ), ( ).  
 3.1.12 ; IMA (impedance  
 measurement adaptor, IMA): 0,1 \* 0,1 ,  
 CDNE.  
 3.1.13 ; LCL (longitudinal conversion loss, LCL): 8 /  
 ( ) ,  
 ( ) ,  
 1 — LCL — ,  
 [ 0,9 ITU-T (8)<sup>1</sup> >]  
 3.1.14 ; RGP (reference ground plane, RGP): ,  
 , ,  
 1 — ,  
 .  
 3.2 , 3.1,  
 :  
 AN — ;  
 CVP — ;  
 E.m.f. — ( );  
 LISN — ;  
 ITE — ;  
 NWA — ;  
 — ;  
 RF — , ( , ).

« »

## CISPR 16-1-2—2016

**4**

## 4.1

(AMN): V-  
(V-AMN), ,  
(-AMN),

1 —

2 —

AMN,

kAMN,

CISPR/TR 16-4-1:2009,

6.2.3,

CISPR 16-4-2.

## 4.2 AMN

50

50  
10 , ( ) 50  
1,2—1,  
( . 4.11).  
( , ,  
4.3, 4.4, 4.5. 4.6

4.7

CISPR 16-4-2.

30

4.3 V-AMN 50 /50 + 5 9 150

) ( ) , OSM ( /  
/ ) ,  
± 20 %, — ± 11.5°.  
1 1.

1 —

V-

( . 1)

0,009	5,22	26,55
0,015	6,22	38,41

# 1

.	,	,
0,020	7,25	44,97
0,025	8,38	49,39
0,030	9,56	52,33
0,040	11,99	55,43
0,050	14,41	56,40
,	16,77	56,23
0,070	19,04	55,40
0,080	21,19	54,19
0,090	23,22	52,77
0,100	25,11	51,22
0,150	32,72	43,35

—	AMN	,		
,	4.3	4.4,		150
30	.			
4.4	V-AMN 50	/50	0,15	30
)			(	
2 —	V-	( . )	2	2.
± 20 %,	—	± 11,5°.		

.	.	,
0,15	34,29	46,70
0,17	36,50	43,11
0,20	39,12	38,51
0,25	42,18	32,48
0,30	44,17	27,95
0,35	45,52	24,45
0,40	46,46	21,70
0,50	47,65	17,66
0,60	48,33	14,86
0,70	48,76	12,81
0,80	49,04	11,25
0,90	49,24	10,03
1,00	49,38	9,04
1,20	49,57	7,56
1,50	49,72	6,06
2,00	49,84	4,55

## CISPR 16-1-2—2016

2

,	.	,
2,50	49,90	3,64
3,00	49,93	3,04
4,00	49,96	2,28
5,00	49,98	1,82
7,00	49,99	1,30
10,00	49,99	0,91
15,00	50,00	0,61
20,00	50,00	0,46
30,00	50,00	0,30

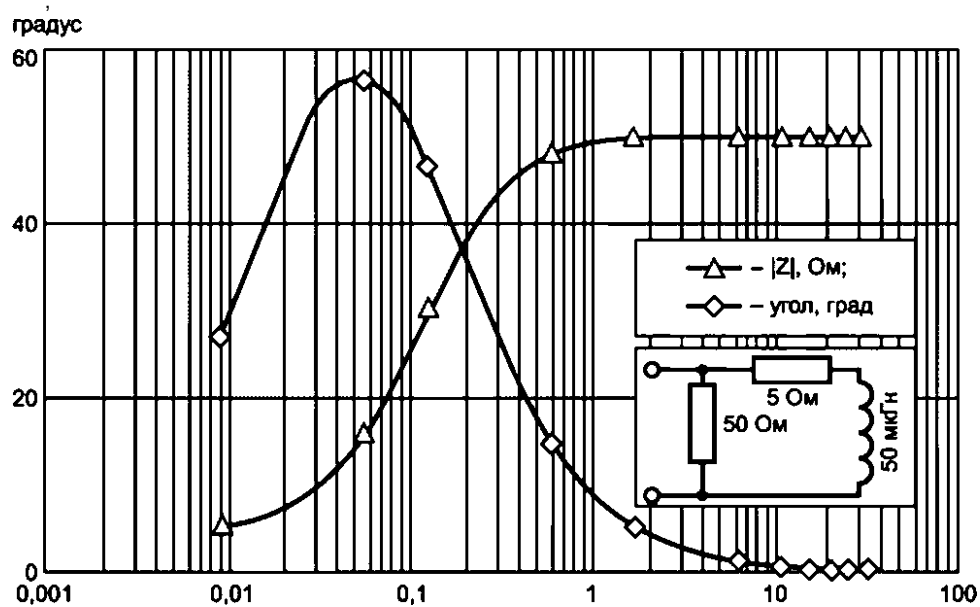
4.5 V-AMN 50 /5 \* 1 150 108

( )  
3. 3.  
 $\pm 20\%$ . —  $\pm 11.5^\circ$ .

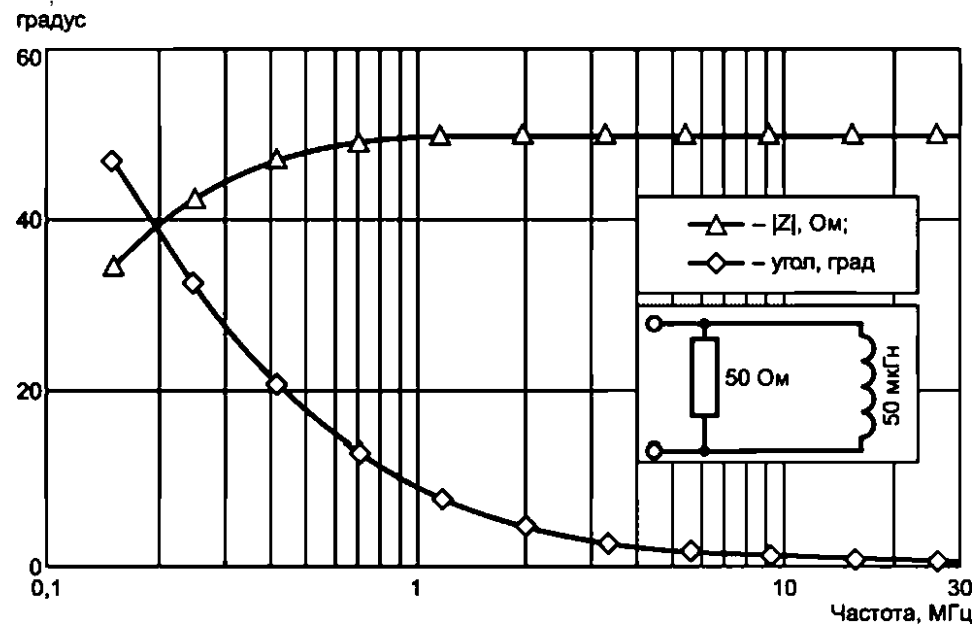
3 —

V- ( . 3)

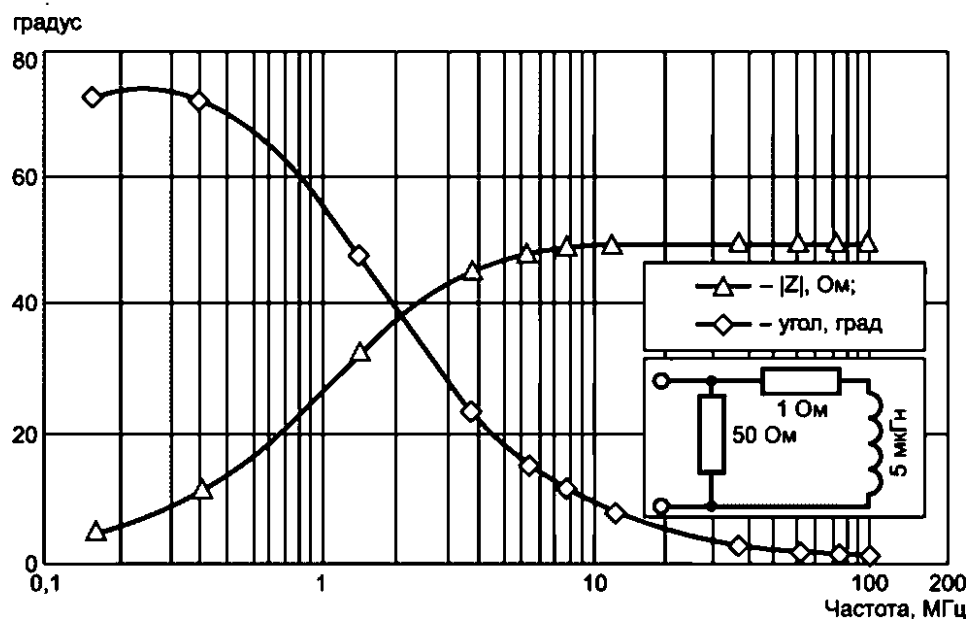
.	.	,
0,15	4,70	72,74
0,20	6,19	73,93
0,30	9,14	73,47
0,40	12,00	71,61
0,50	14,75	69,24
0,70	19,82	64,07
1,00	26,24	56,54
1,50	33,94	46,05
2,00	38,83	38,15
2,50	41,94	32,27
3,00	43,98	27,81
4,00	46,33	21,63
5,00	47,56	17,62
7,00	48,71	12,80
10,00	49,35	9,04
15,00	49,71	6,06
20,00	49,84	4,55
30,00	49,93	3,04
50,00	49,97	1,82
100,00	49,99	0,91
108,00	49,99	0,84



1 — ( . 4.3, ) V- 9 150 )



2 — ( . 4.4 ) V-



4.6 V-AMN 150

150 30

 $(150 \pm 20)$ 

20 .

4.7 A-AMN 150

150 30

4.7.1

 $(150 \pm 20)$ 

20°

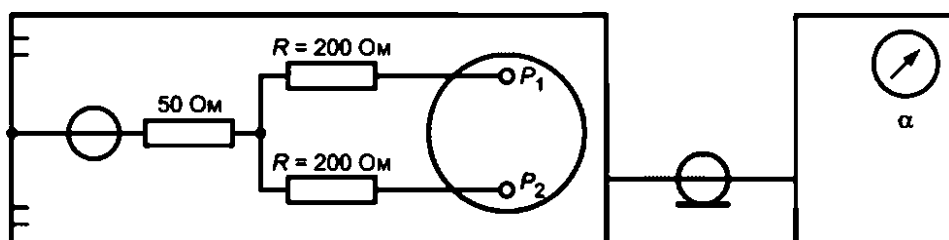
4.7.2

150

1000

150

4.



$R =$   
1 2 —  
200

4 —

$V_a$ , , 50, ,  
200  $\pm 1\%$

8  
20:1 (26 ).  $V^{\wedge}V^{\wedge}$

4.8 ( )

4.8.1

4)

$V\text{-AMN}$

AMN

( . CISPR 16-2-1).

4 —

$V\text{-}$

	$V\text{-}$		
43	50 /50 + 5	0,009—0,05	0—40
		0,05—30	40
4.4	50 /50	0,15—30	40
4.5	50 /5 + 1	0,15—3	0—40
		3—108	40

4.8.2

50

.1.  
50

(

50 )

10 ,

50

$V_2$ .

4.2.

+ (1)

— ( );  
 $V_2$ — ( );  
 $Fq$  — , ;

( )

30

4.9

95 %

AMN.

4.10

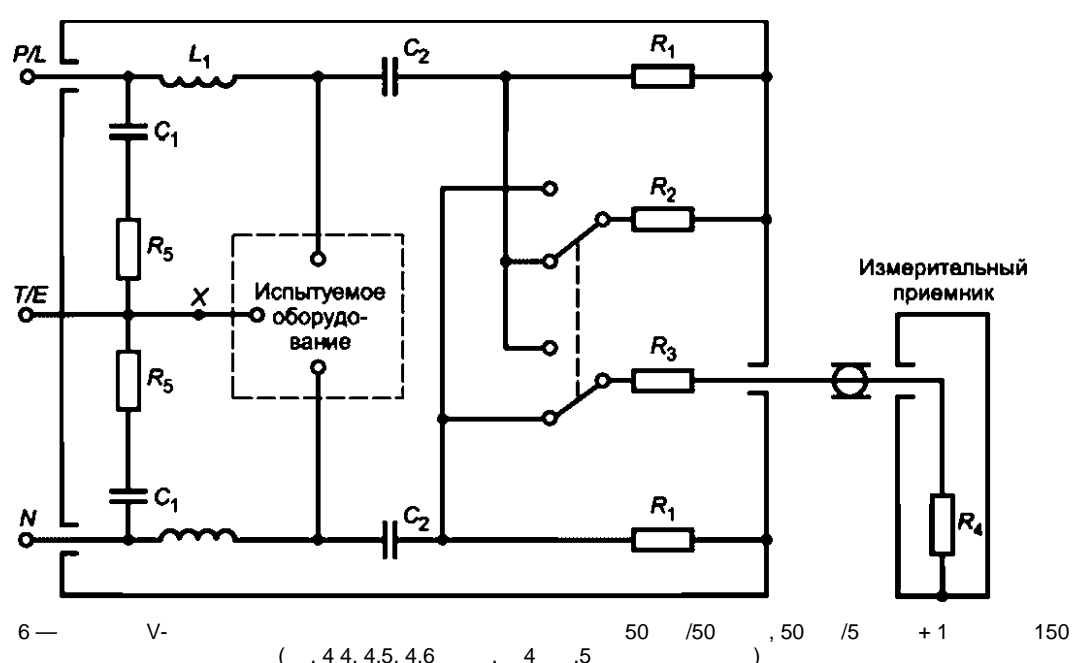
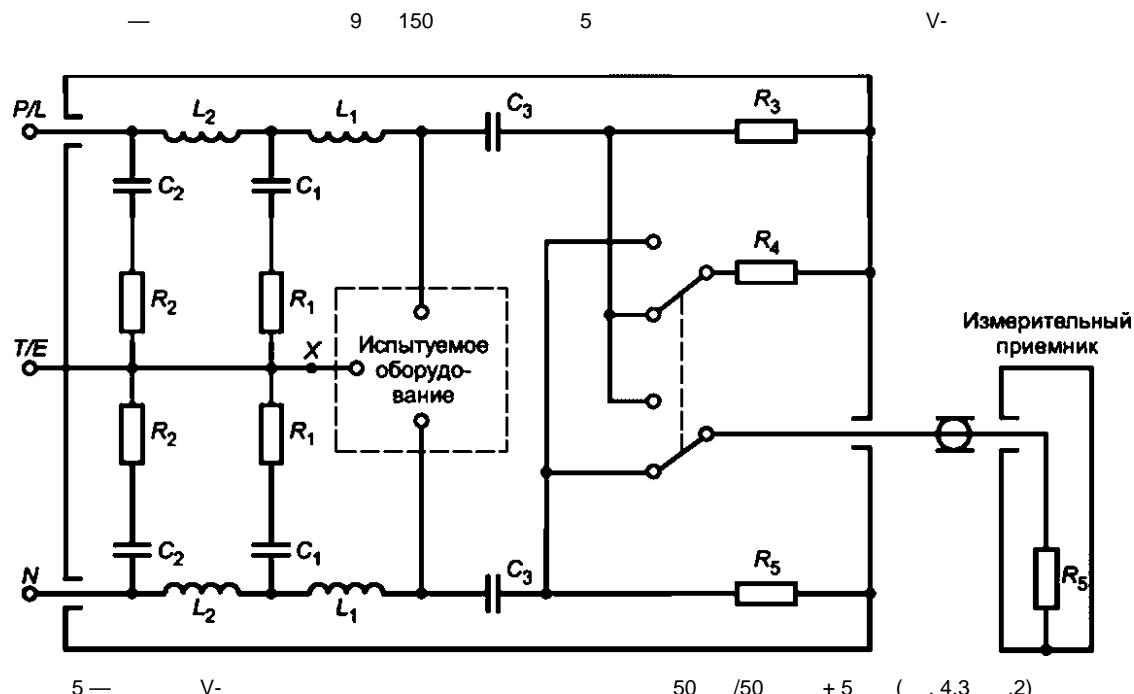
4.3 4.4,

X,

5 6  
1,6

4.3

4.4



4.11

V-

V-

.8.

**5**

5.1

5.1.1

30	— 100	30	1000
----	-------	----	------

( ) ( ). .5

5.1.2

5.1.3

0,1	5	«	»	1
0,001	0,1	«	»	
(		50	)	

, [f]B(S)J.

).  
25

100	— 100	, 100—300	200—1000
-----	-------	-----------	----------

40 ,

1	$< 10 /$	30	2.5	30	1000
---	----------	----	-----	----	------

15

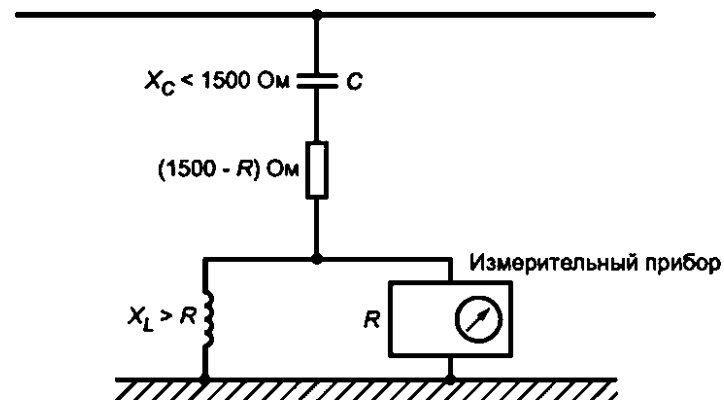
5.2

5.2.1

7

1500

▲



$$V = \frac{1500}{R} V_m.$$

$V$ —  
 $V_m$ —

7 —

(

)

50

9

30

1

5.2.2

5.2.2.1

( )

;

;

;

;

(CVP)

150

30

( . 5.2.2.3)

G

5.2.2.2

44 ( ).

G.

( )

(

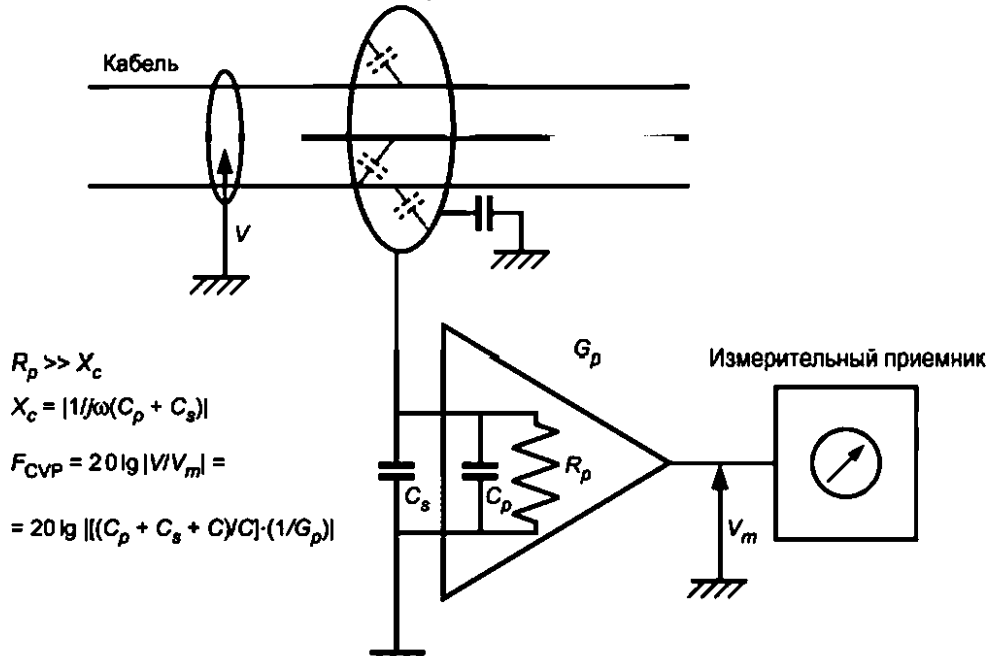
8

 $R_p$ 

G

CVP.

## Емкостное зажимное устройство связи



— ( ); — ;  $C_s$  — ;  $V_m$  — ;

8 — ,

## CISPR 16-1-2—2016

## 5.2.2.3

10

$$F_{CVP} = 20 \lg|WV|^I$$

( . . 8)

CISPR 16-1-1:2010

( -

) 20 .

G

30

(

( . . G.1J)

**6**

## 6.1

150

30

D

## 6.2

## 6.2.1

0,15 30

30 150

**6.2.2**

0,15—30

(

150 ),

(150 ± 20)

CISPR

S

V-AMN 150 , .

± 20° (

4.5).

## 6.2.3

L —

30—150

)

9,6 12,6

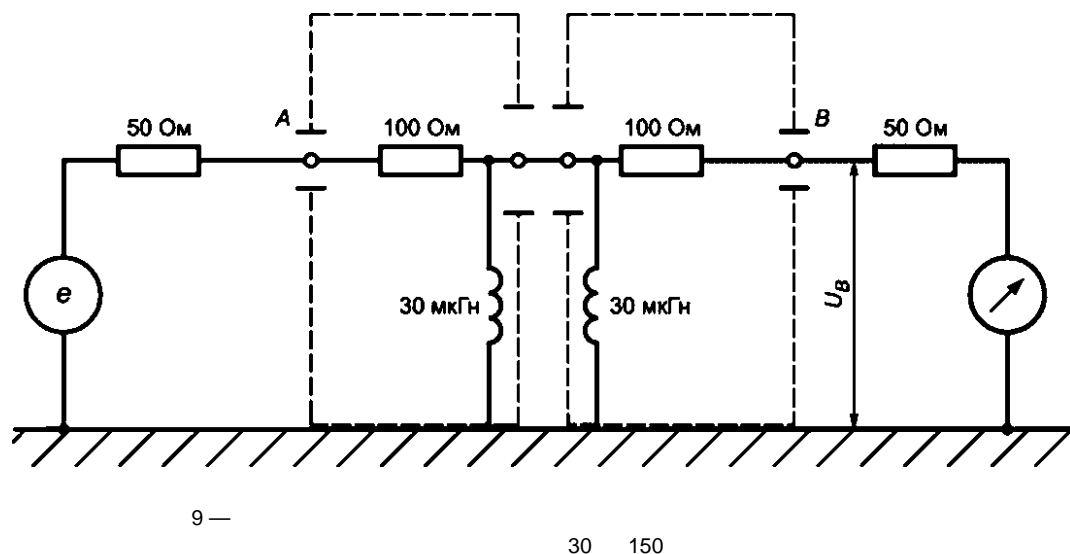
(£ 1 ).

9.

 $U_q/U_b$ 

9,6 12,6

30 150 ;  $U_G$  —

**7**

7.1

/ ( ) . /  
 ( , , ).  
 ( , , ).  
 (AAN ).  
 1 — AAN  
 IEC 61000-4-6 (AAN)  
 (CON)]. AAN.

2 — ( )  
 ,  
 3 — 3. « / «  
 » « , « «  
 4 — « (AAN)»  
 «Y- », V-  
 Y-  
 ,  
 ,  
 ,

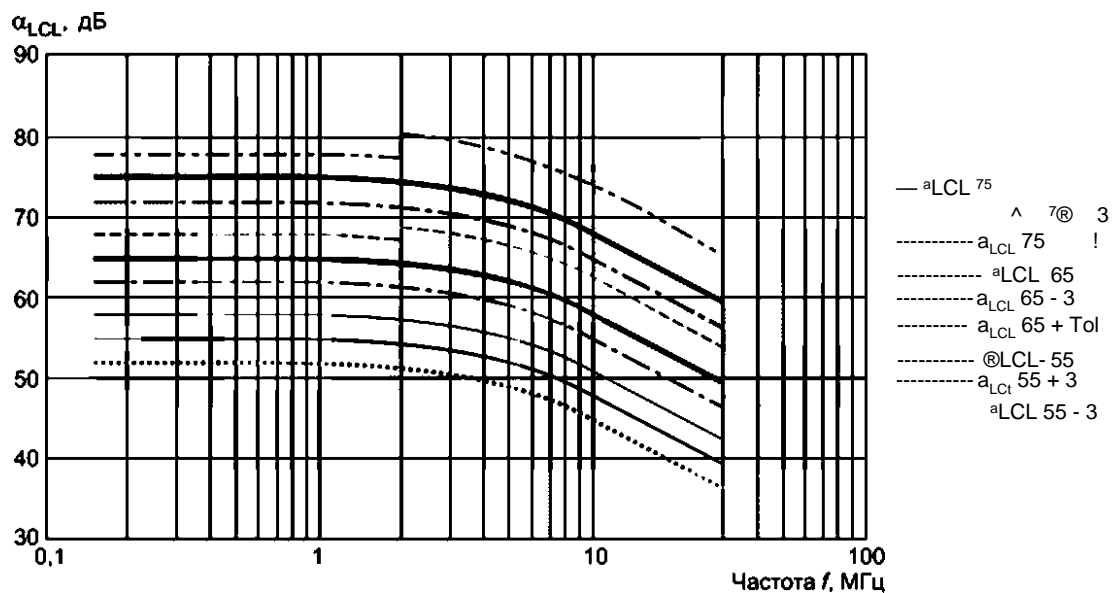
7.2

AAN.

AAN

(LCL).





1 — 55,65 75 , , 7.2, ), ) ).

2 — « 1 » — , 7.2, ), ) ).

) , ( - )

10 — LCL

AAN / / (

) , ,

5.

5 — AAN /

1)	/ - ( )	(150 $\pm$ 20) (0 $\pm$ 20) $^{\circ}$
2)	(LCL)	9—150 : 0,15—30 : 7.2 ,
3)		9—150 : 0,15—1,5 : > (35 - 55) ; >1,5 : > 55
4)		<
5)	,	(9,5 $\pm$ 1)
6)		100 600 ;

CISPR 16-1-2—2016

5

7.3

(AN) ( ) ( ) 6.  
— CISPR 22 [5]  
(ISN)

6 —

1)	- - -	( ) ;	-	-
			(150±20) (0±20)°	
2)		*	9—150 0,15—30	:
3)		) ( )	( ) ( )	0

# 6

4)		9,5
5)	(1) (2)	(0,009) 0,15 —30 IEC 61000-4-6
150	,	(AN)
	,	( )
	AN.	( )
		( )
		( )
d	AN	F.2.

8

RC

8.1

), , : , , , , ( , ,

8.2

RC

( )

$$RC, \quad = 220 \quad \pm 20 \%, \\ R = 510 \quad \pm 10 \% ( \quad . \quad 11 \quad ).$$

11 12.

RC

1.4

30

7

L

1.4

4

$$L = \frac{\mu l}{2\pi} \left[ \ln\left(\frac{4l}{d}\right) - 1 \right], \quad \Gamma_H,$$

$= 4 \cdot 10^{17} / ;$   
 $/ — ;$   
 $d — .$

— 1,4 , 30  
 $RC.$

8.3

$RC$   
 $, 1 . , RC$

( )  
 $,$   
 $,$   
 $30 , RC$   
 $( )$   
 $(AMN)$   
 $)$   
 $RC$   
 $(LISN).$

AMN.

$AN.$   
 $, , RC$

a)

b)

$( . 11, ) )],$   
 $60$   
 $11, ) )]$   
 $,$   
 $RC.$

c)

$D [ . 11 )].$   
 $, 60$

$D$   
 $RC.$

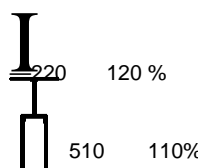
d)  
 $\parallel ( , , )$   
 $, ,$   
 $11 )],$   
 $RC.$

) 12

60

( ).

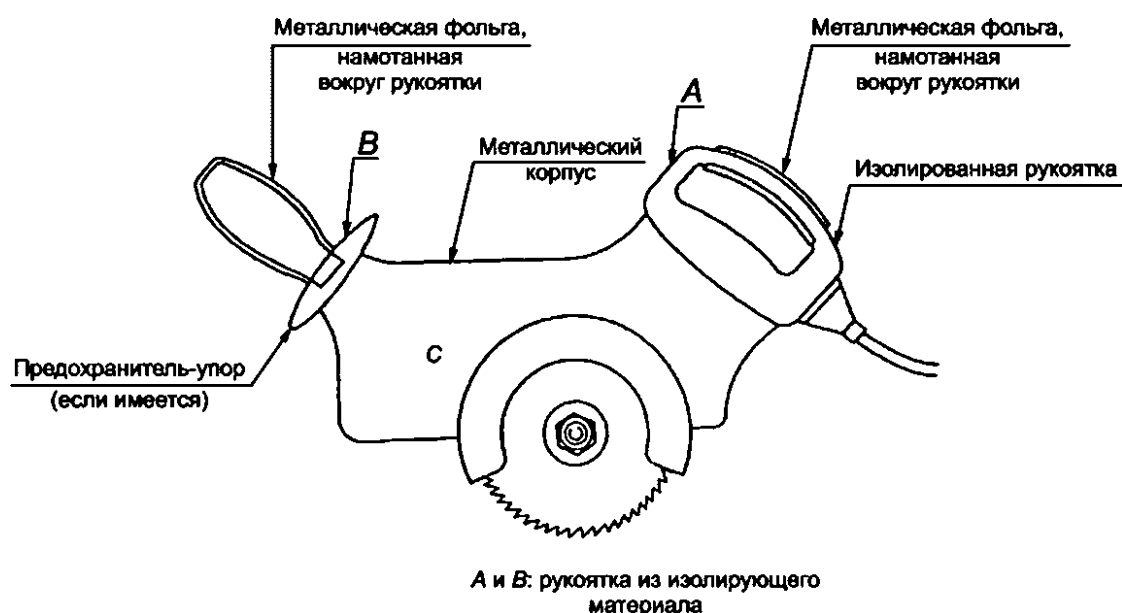
300 \* 100



Металлическая фольга, намотанная вокруг корпуса напротив железного сердечника статора двигателя или коробки передач

) RC

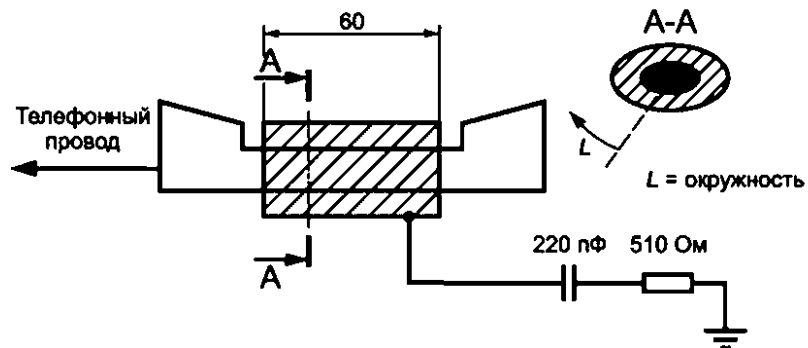
b) Портативная электрическая дрель



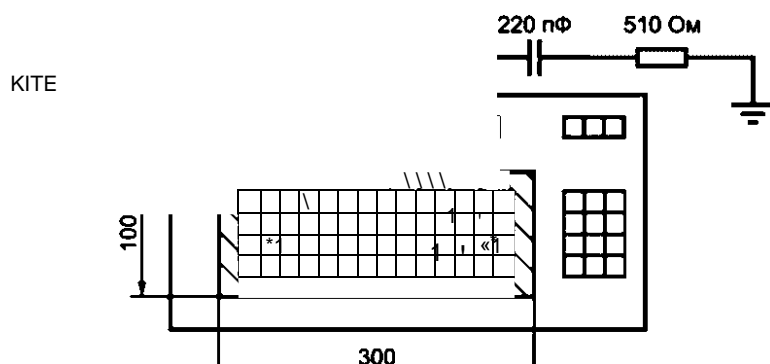
) ( )

11 —

Размеры в миллиметрах



) 8



)

, ;

) 60	$L$	, , ,
) 300		, , ,

12 —

(ITE)

**9 CDNE****30 300**

9.1

9.1.1

CISPR 16-2-1:2014,

9.

- / (CDNE- )  
 - (RGP).

CDNE

( )

( 22 )

100 (CDNE-M2 CDNE-M3),  
CDNE-Sx ( . J). CDNE ( ).

( ) RGP. CDNE  
9.1.2  
9.1.2.1  
CDNE

30 300

CDNE

CISPR 16-2-1:2014, 9.1.

9.1.2.2

CDNE

( ) ( ).

$V_{as}$

\$

$F_{CDNE}$   
6

$\Delta_{CDNE}$

CDNE

, ( ),

$$V_{dis} = \Delta_{imeas} + F_{CDNE}$$

<3)

9.1.2.3

CDNE

( ) 150 ,

CDNE.

100 CDNE-M2 CDNE-M3

9.1.2.4

CDNE

9.1.3  
RGP

(RGP)

(

CDNE

)

RGP.

9.2

CDNE-X

9.2.1

CDNE

30 $\Delta^5\%$  RGP

CDNE

150

J,

CDNE.

CISPR 16-1-2—2016

30 300

CDNE-X

		CDNE-M2	CDNE-M3	CDNE-Sx
)	( $Z_{cm}$ )	150'22 (0 ± 25)°		150'22 (0 ± 25)°
)	( $Z^{\wedge}$ )	(100 ± 20)		
LCL		20		
-		± 1,5		± 1,5
.				
$a_{decoupl}$		> 30		> 30

( )

20 . LCL  
 CDNE ( ). LCL  
 1 — CDNE- LCL (L)  
 ( ) (N) ( ) .  
 2 — LCL 100

3 — CDNE

LCL,

CDNE

CDNE

6

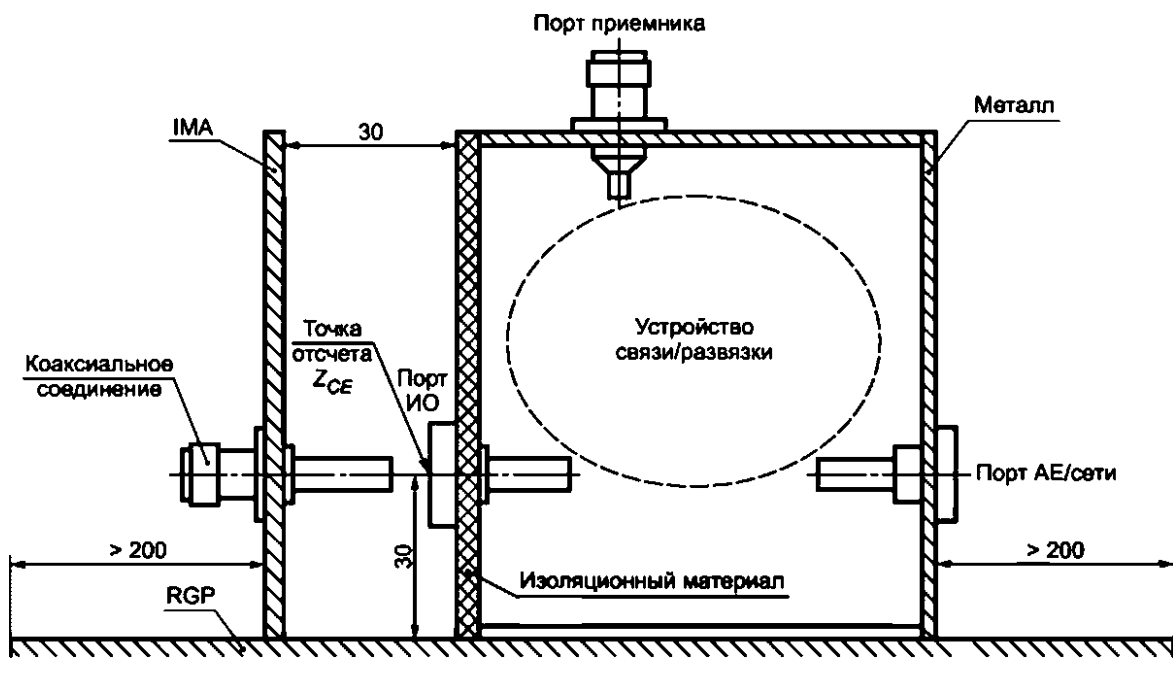
9.2.2 CDNE  
9.2.2.1

CDNF

RGP,

RGP.

10:



IMA (Impedance measurement adaptor) —

0.1 0.1 .

RGP ( . CISPR/A/1000/CDV)

— « / »  
/ .

13 —

CDNE

9.2.22

(NWA)

( )  $Z_{ce}$ ,

13.

( IMA NWA).

IMA NWA

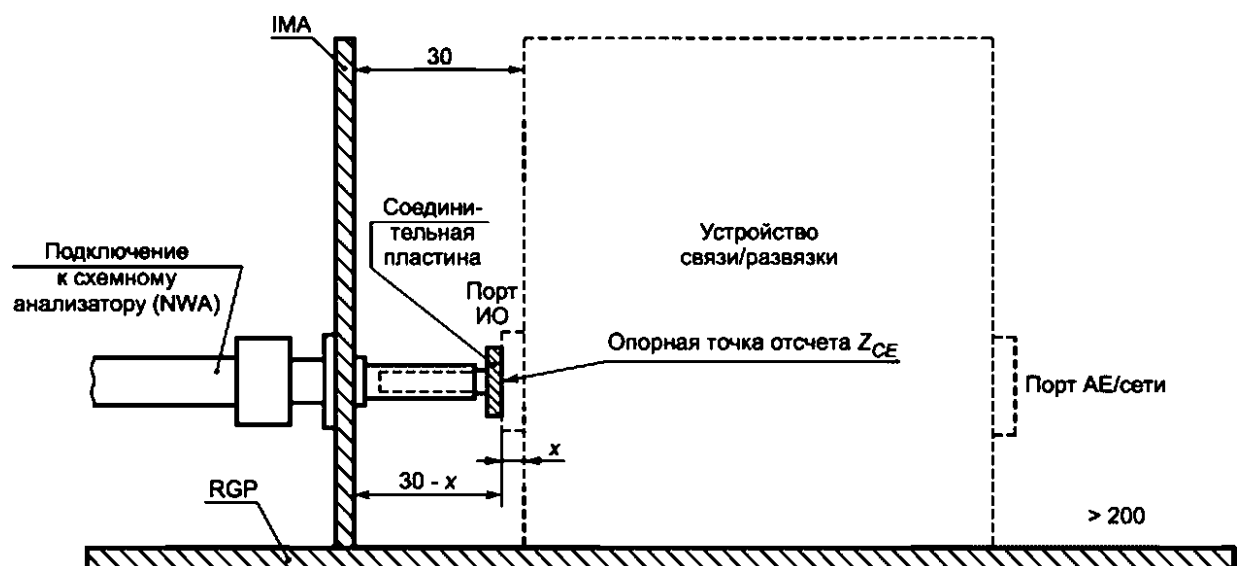
IMA

1 CDNE

( . 14).

CDNE,

CDNE.



IMA (Impedance measurement adaptor) —

0,1 0,1 .

RGP ( . CISPR/A/1000/CDV)

«      »

3

/

IMA

).

(

14 —

IMA

9.2.2.3

 $Z_{CM}$ 

2

CDNE

.2.

9.2.2.4

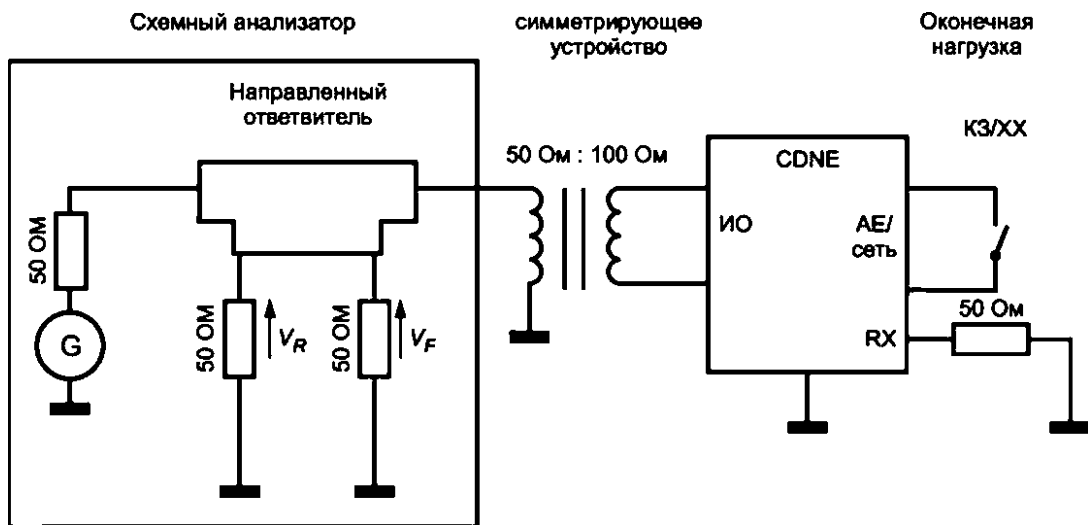
 $Z_{DM}$ 

15.

50

100

CDNE



RX -

— /  
/

15 —

 $(Z_{DU})$ 

(4),

\_7 1± \_7 HW

(4)

— , a  $Z_o = 100$   
9.2.2.5

.6.

 $F_{CDNE}$ 

CDNE

.6.

1 —

—

150

100  
100

S-

CDNE.

9.2.2.6

.4.  $a_{tfecoup}$   
CDNE

CDNE

.6.

—

 $F_{CDNE}$  —

LCL

9.2.2.7  
LCL

CDNE

9.3

RGP

RGP

0,2

RGP  
CDNE,

( )

(AMN)

.1

500 9 —100  
 4. V- , AMN.

AMN

( ) / ).

10

),

.2

V-

50 /50 + 5

5 , C<sub>1t</sub> R<sub>v</sub> R<sub>4vt</sub> ^

: 2, 2  
3 100

.1 —

V- 50 /50 + 5

	5
*2	10
«3	1000
r <sub>a</sub>	50
«5	50 ( )
C <sub>i</sub>	8
2	4
	0,25
< 1	50
42	250

9—150

0,25

2

L<sub>2</sub>

10

9—150

( ).

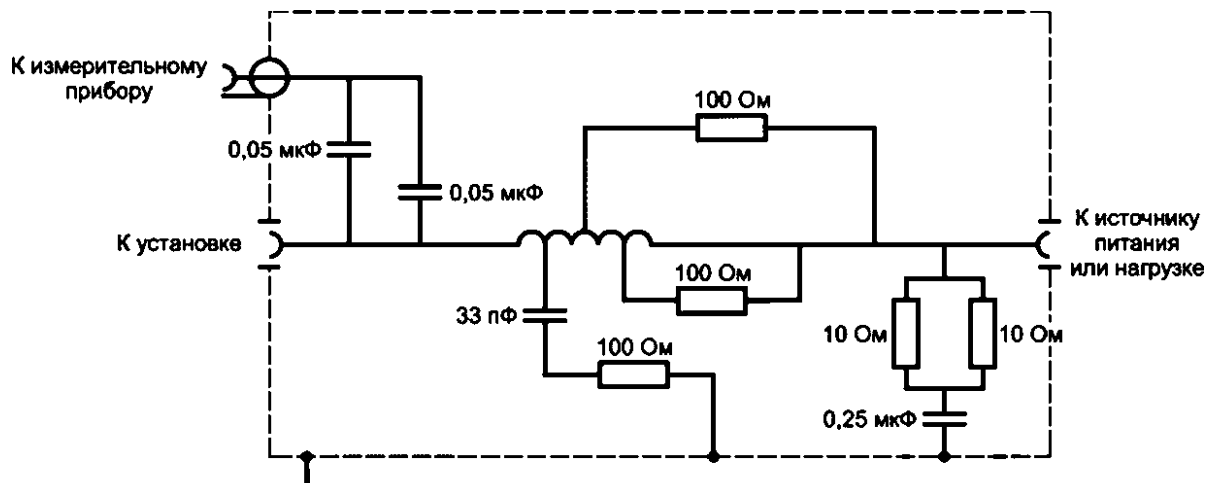
28

	1000
$r_2$	50
«3	0
«4	50 ( )
	0
Ci	1
$_2$	0,1
< 1	50

1 ,  
 .7 ,  $L_v$   
 .4 V- 50 /5 + 1  
 , 6,  
 150 30 400 ,  
 — V- 50 /5 + 1

	1000
«2	50
«3	0
«4	50 ( )
«5	1
.	2 ( )
2	0.1
	5

## CISPR 16-1-2—2016



5 . 18

6 ,  
3.5.9 13.5

50

1 —

V-AMN 50 /5 \* 1

,

.5 V-

150

6.

4.

. 4 —

V-

150

		1000
$r_2$		150
*3		100
*4	50 (	)
«5		0
.		1
$z_2$		0,1

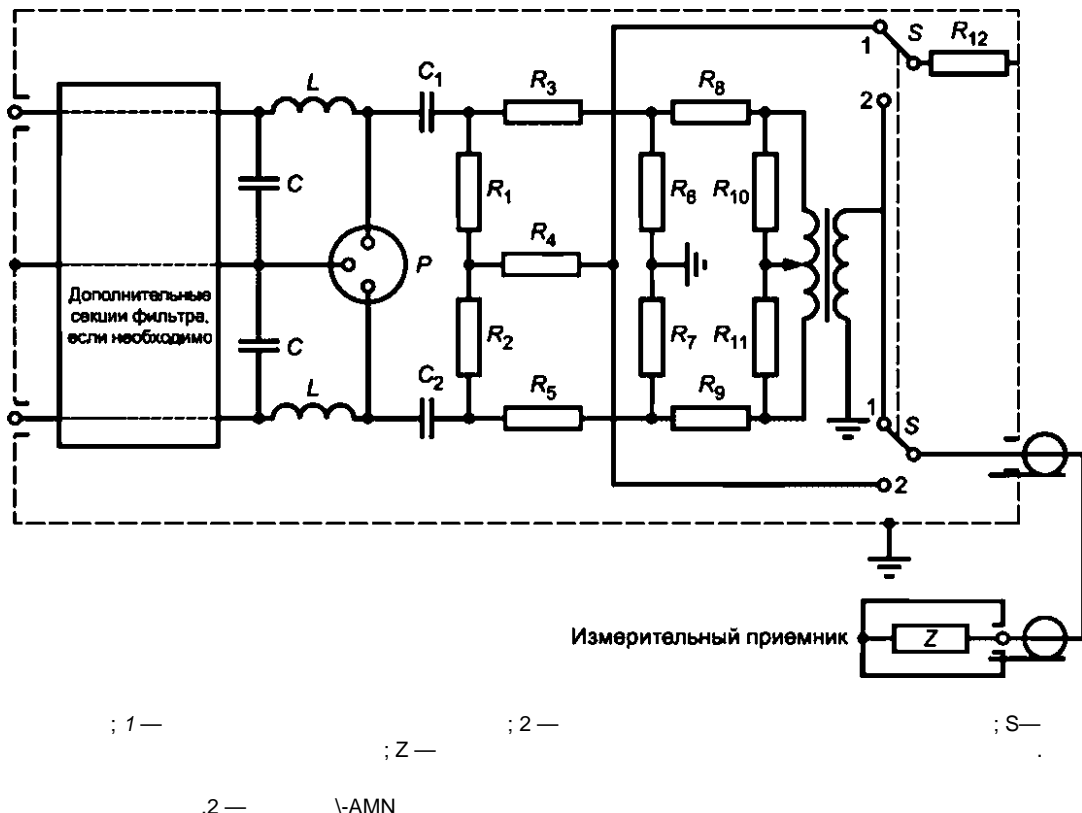
.6

-

150

.2.

.5.



“ 2	118,7(120)
«3’ «5	152,9(150)
«4	390,7 (390)
,	275,7 (270)
^8’	22,8 (22)
«10-	107,8(110)
«12	50
C <sub>i</sub> .C <sub>2</sub>	0,1
L.	
1:2,5	1 — , 2 — , ( $\pm 5\%$ ).

- — 20 (20) ;  
— 20 (19,9)
- — 150 (150) ;  
— 150 (148)

## CISPR 16-1-2—2016

.7 AMN 50

.7.1

) , 6 , 8 ,  
50 50

$P_1$   $R$   $R$   $R$   $\wedge 1$   
4 8 12 16 20 24 26 32

32. — R(430  $\pm 10\%$ ) 4 8. 12 16, 20 24, 26  
50  $\pm 10\%$ .

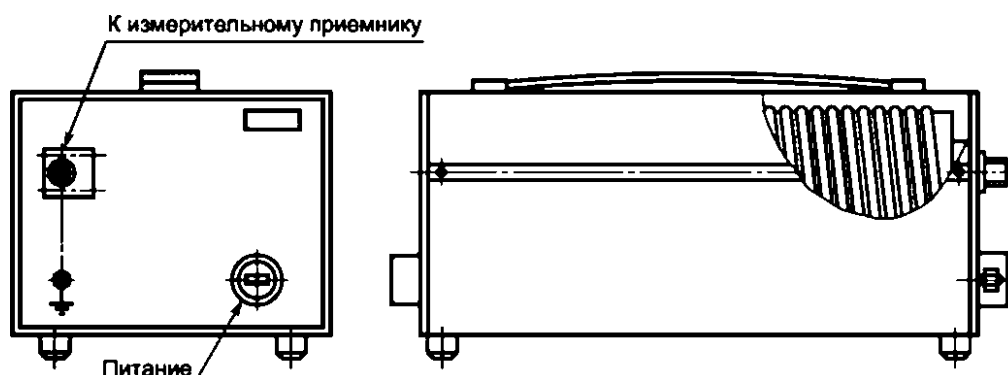
— 50

130 3

430

.7.2

\* 360 \* 300 180 4



4 — AMN

.7.3

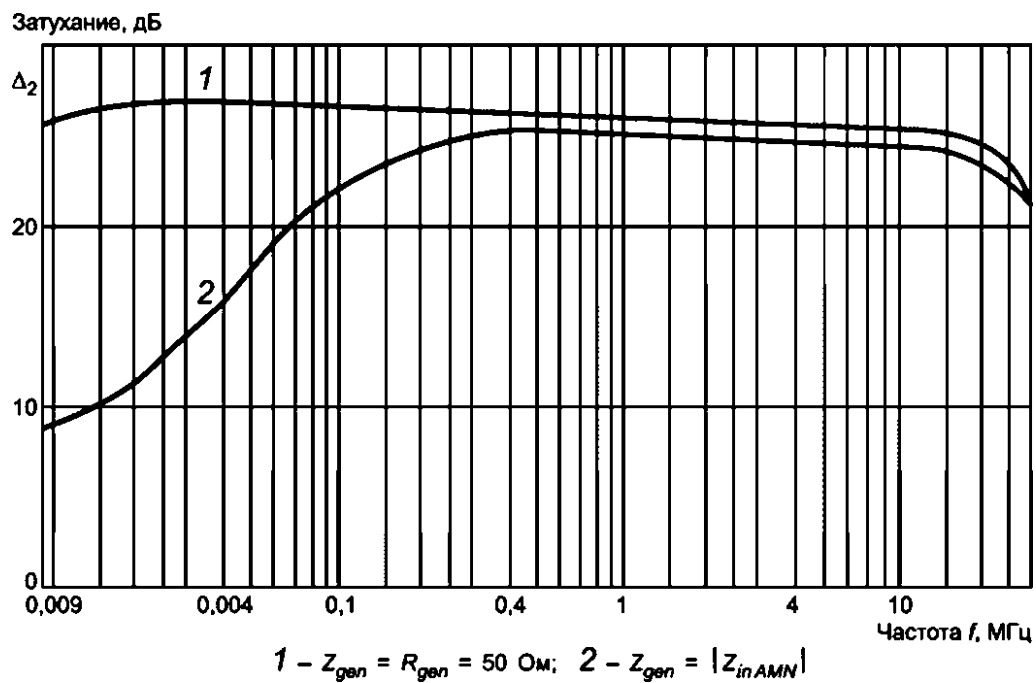
.5

, 5,  $L_2$ ,  $R_2$ 

50 2

AMN,

.5.



.5 — AMN

.8

V-

V-

(

6

)

),

50

( . . . . )

50

10

50

50

50

50

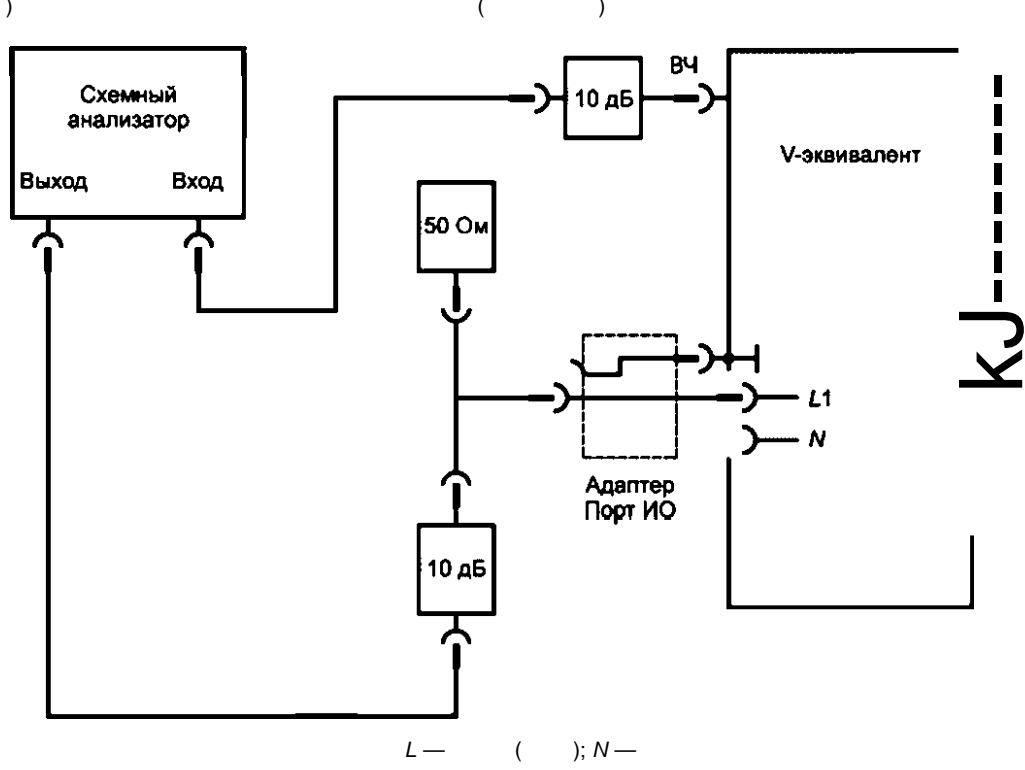
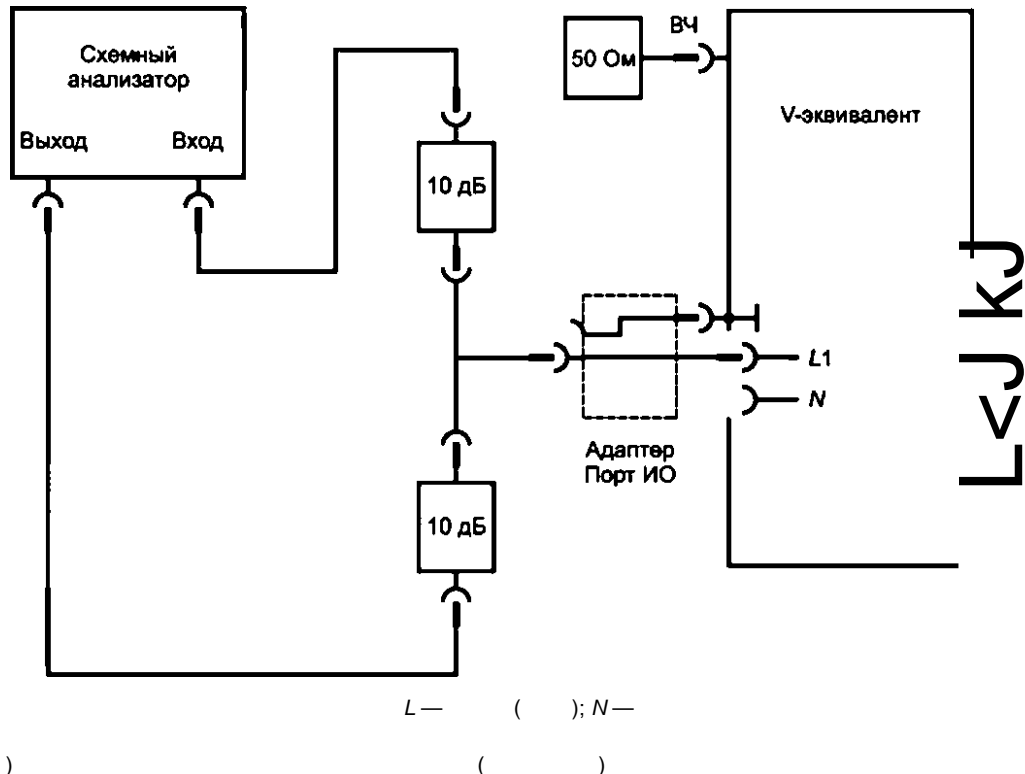
( . ).

V-

150

, . . 150 /50 .

## CISPR 16-1-2—2016



)

. 6 —

(        )

5.

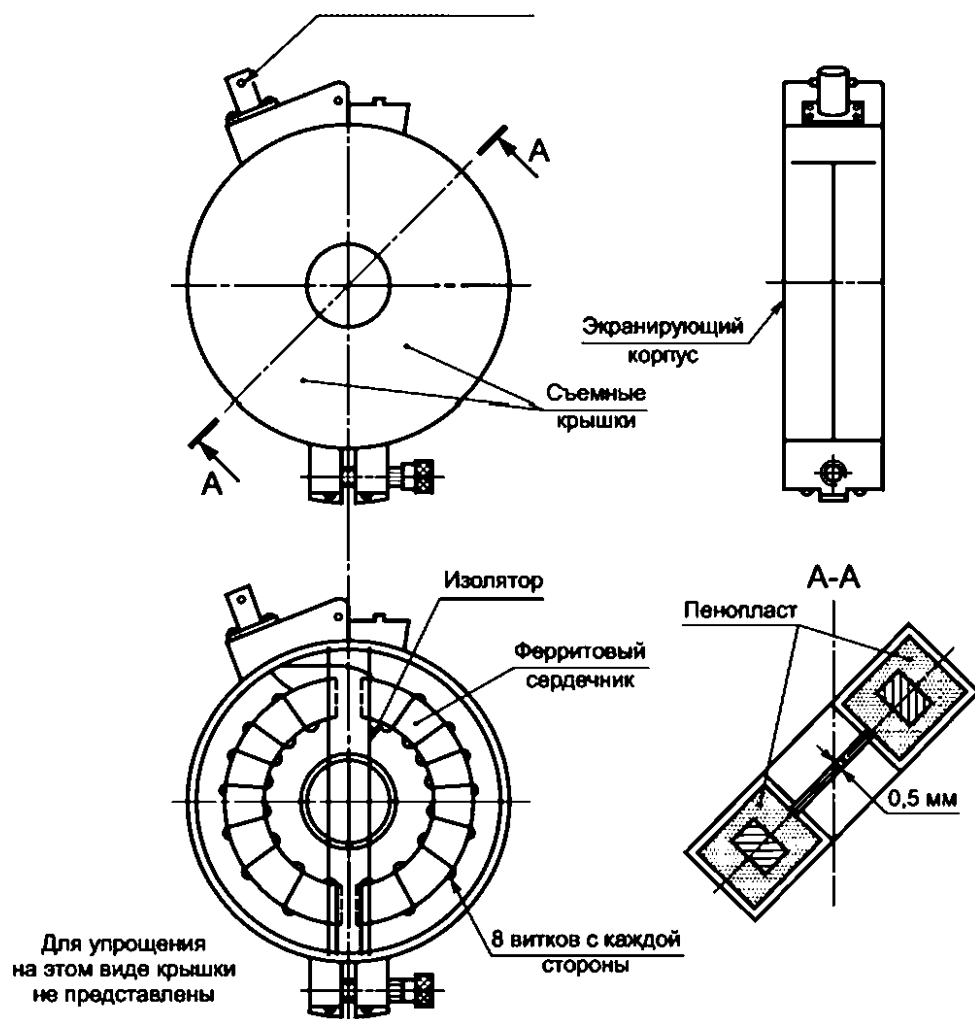
.1

100  
200      1000  
50      100      400

(        )

(        )      1      (1        )      (        ).  
 10      ,      10      0,1  
 10      ,  
 $Z_T$       (        )      1      1  
 1      ( $Z_r$ )      1       $20\lg Z_r$ .

## CISPR 16-1-2—2016



.1 —

.2

(10).

( .1)

$$[(tot/R_f)^2 + ($$

$$Z_T = MR_f, \quad ( \quad = 1); \quad ( .2)$$

( . )

 $Z_T$  —

—

 $L$  — $R_f$  —

—

) —

, / .

( .1)—( . )

)

 $R_I$ ).

0)

1/2.

8-

50

1

,

300

100

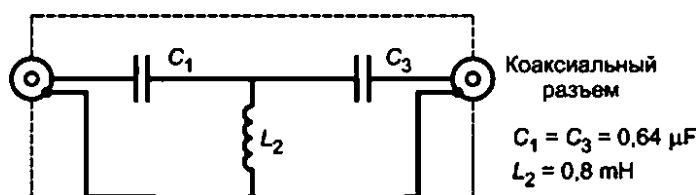
(

)

20 —15 ,

8.2

9

, -  $C_3 = 0,64$  ;  $L_2 = 0,8$ 

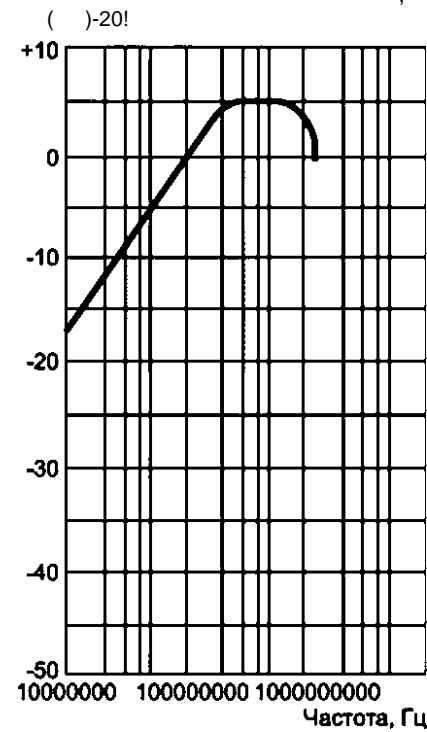
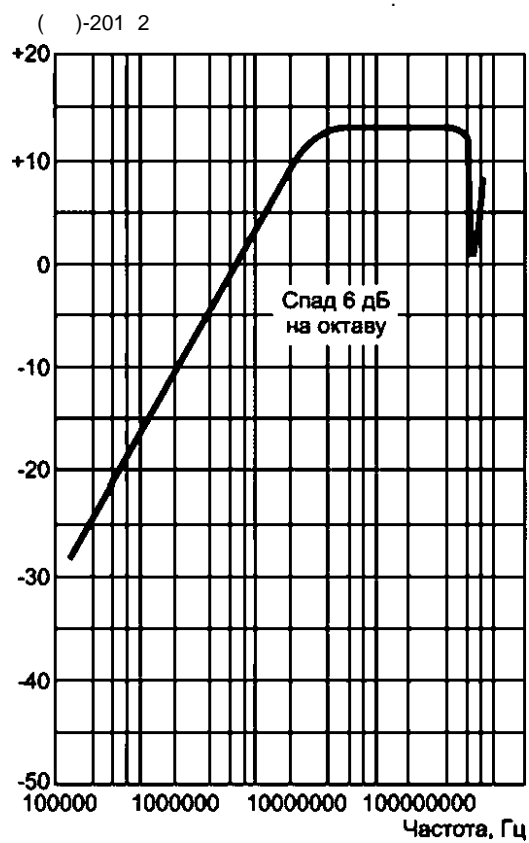
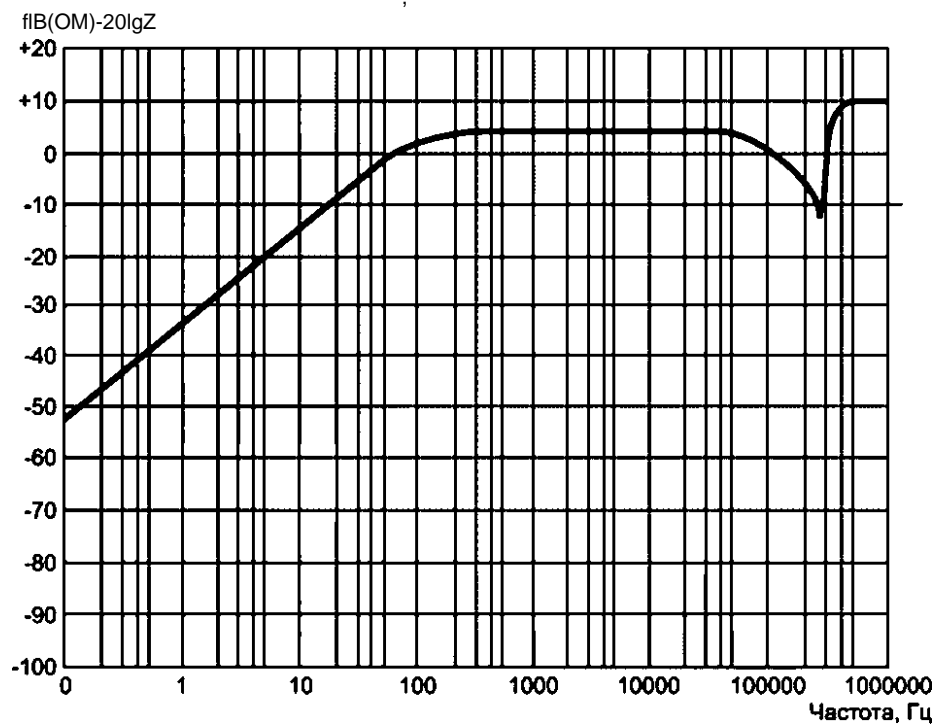
.2 —

9

.4

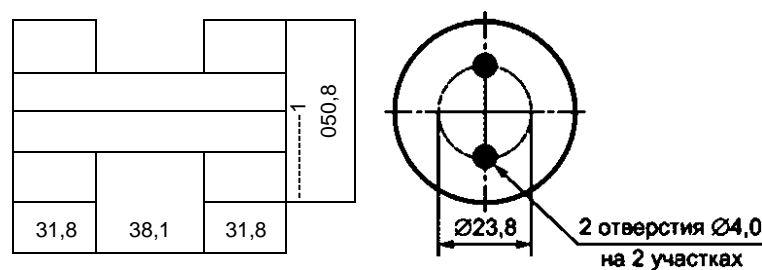
: 100 100 ; 30 300 200 1000

## CISPR 16-1-2—2016



8.3 —





.5 —

(0,75      2)

«      »

.5.

.5.4

.2    .4    .].

.6

(      .9).

.6.

(      ),

—      (      )  
.7

/ =^2+

lp,

( .9)

ке В.9 представлена фотография зажимного устройства с коаксиальным переходным устройством.

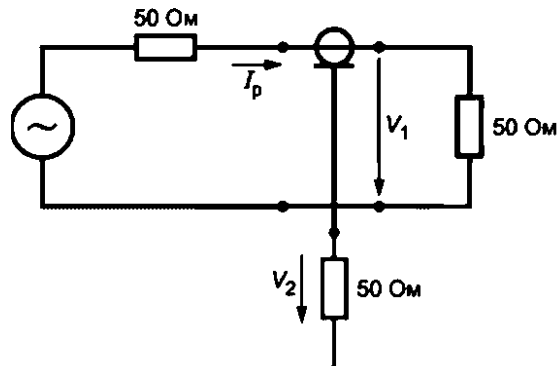
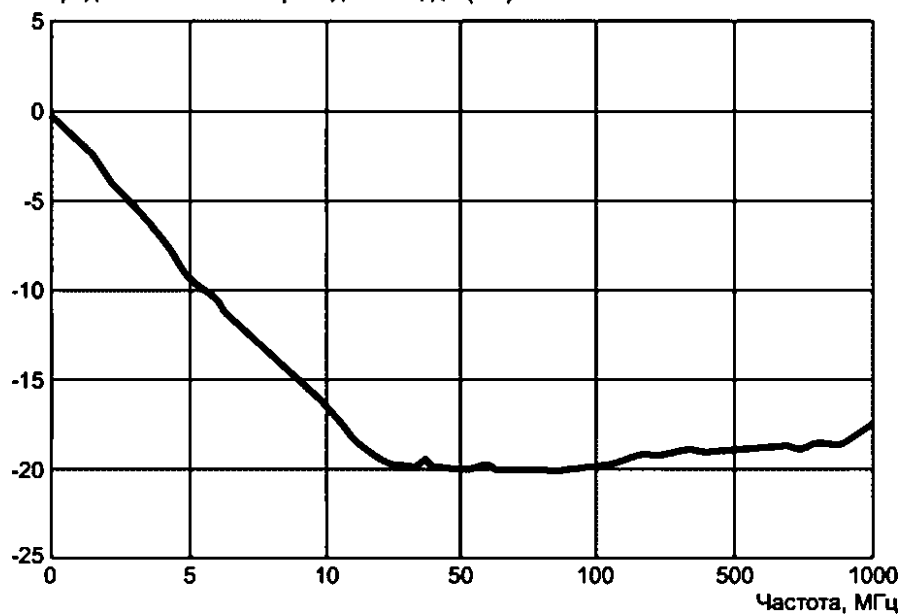


Рисунок В.6 — Схема с коаксиальным переходным устройством и измерение передаточной полной проводимости токосъемника

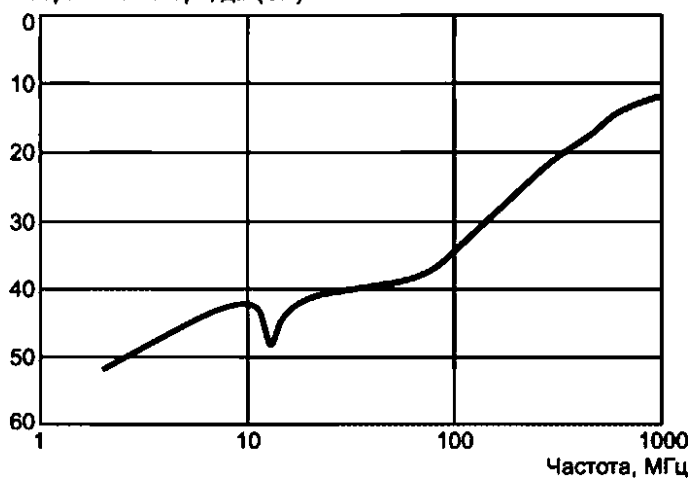
Передаточная полная проводимость, дБ (См)



.7 —

 $Y_T$ 

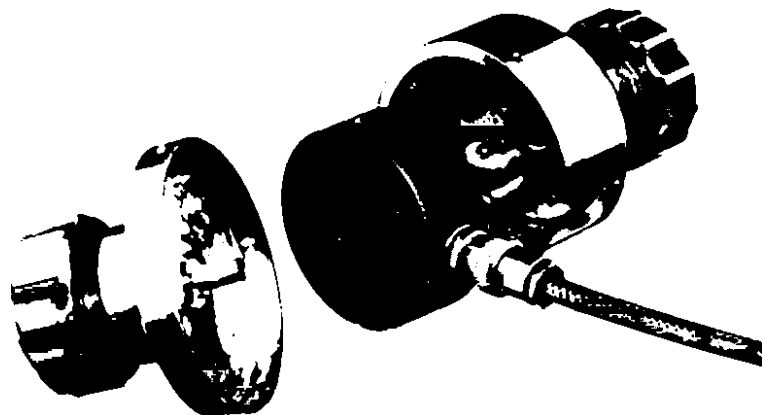
Обратные потери, дБ (См)



.8 —

( )

50



.9 —

(       )

0,15 30

6

.1

.1.

280

280

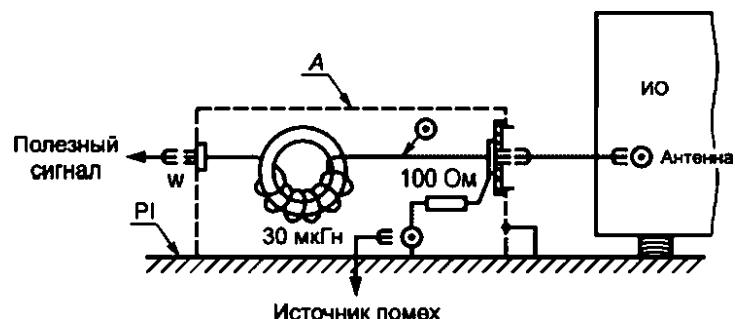
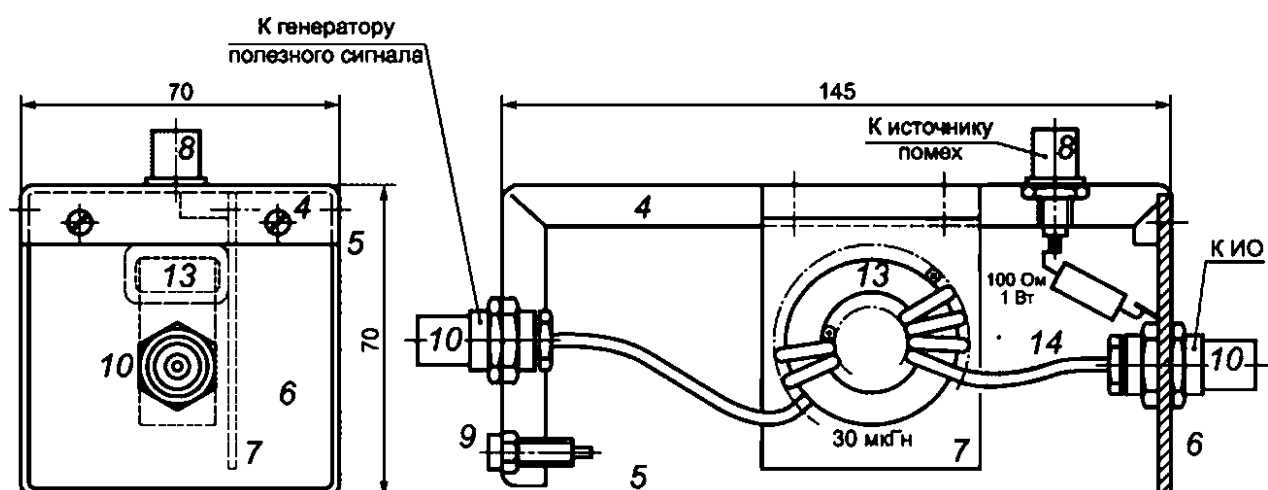
4 6

— 30

UT-34,

— 28  
— 0,9

— 1,5



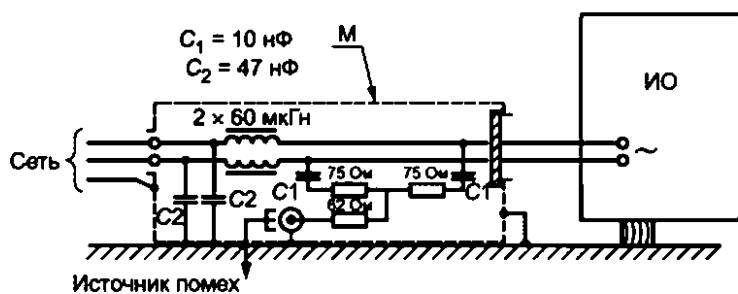
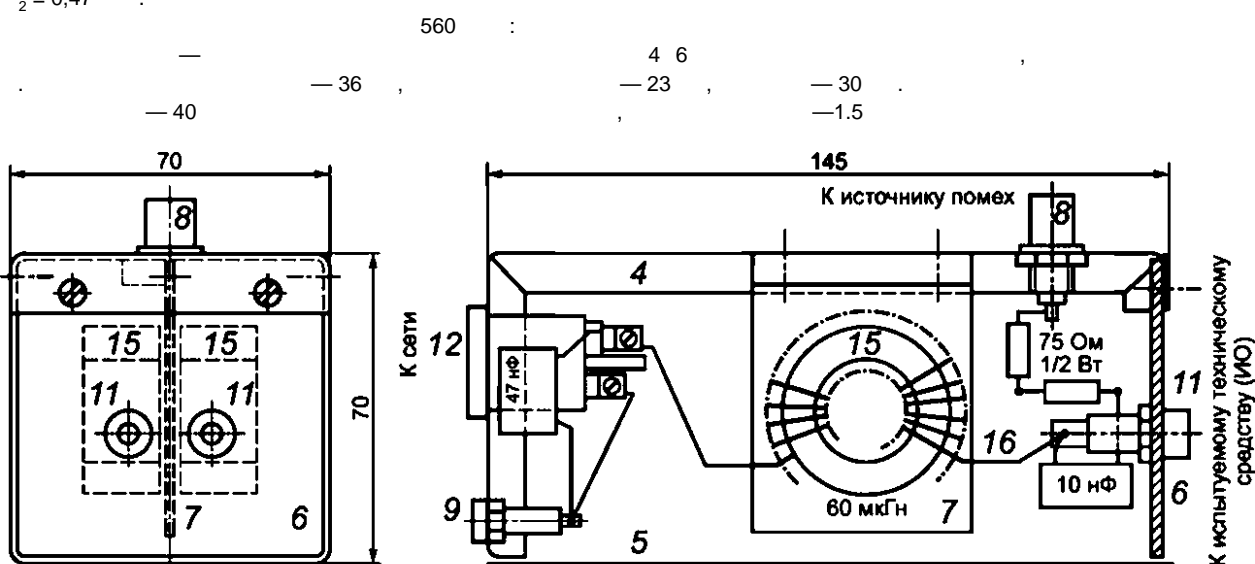
4—5 —  
 ( .50 ; 9 — ) : 7 — 145 70 70 ( 5 ( ; 13 — ); 8 —  
 .15 ; 14 ; 10 — , ; 14 — , ; 13 — , ; 14 — , ; 13 — ,  
 0 36 — , ; 15 — , ; 14 — , ; 14 — , ; 13 — , ; 14 — , ; 13 — ,  
 2.4 ( . . . 1 D.2)

2

.2.

560

$$_1 = 0,1$$



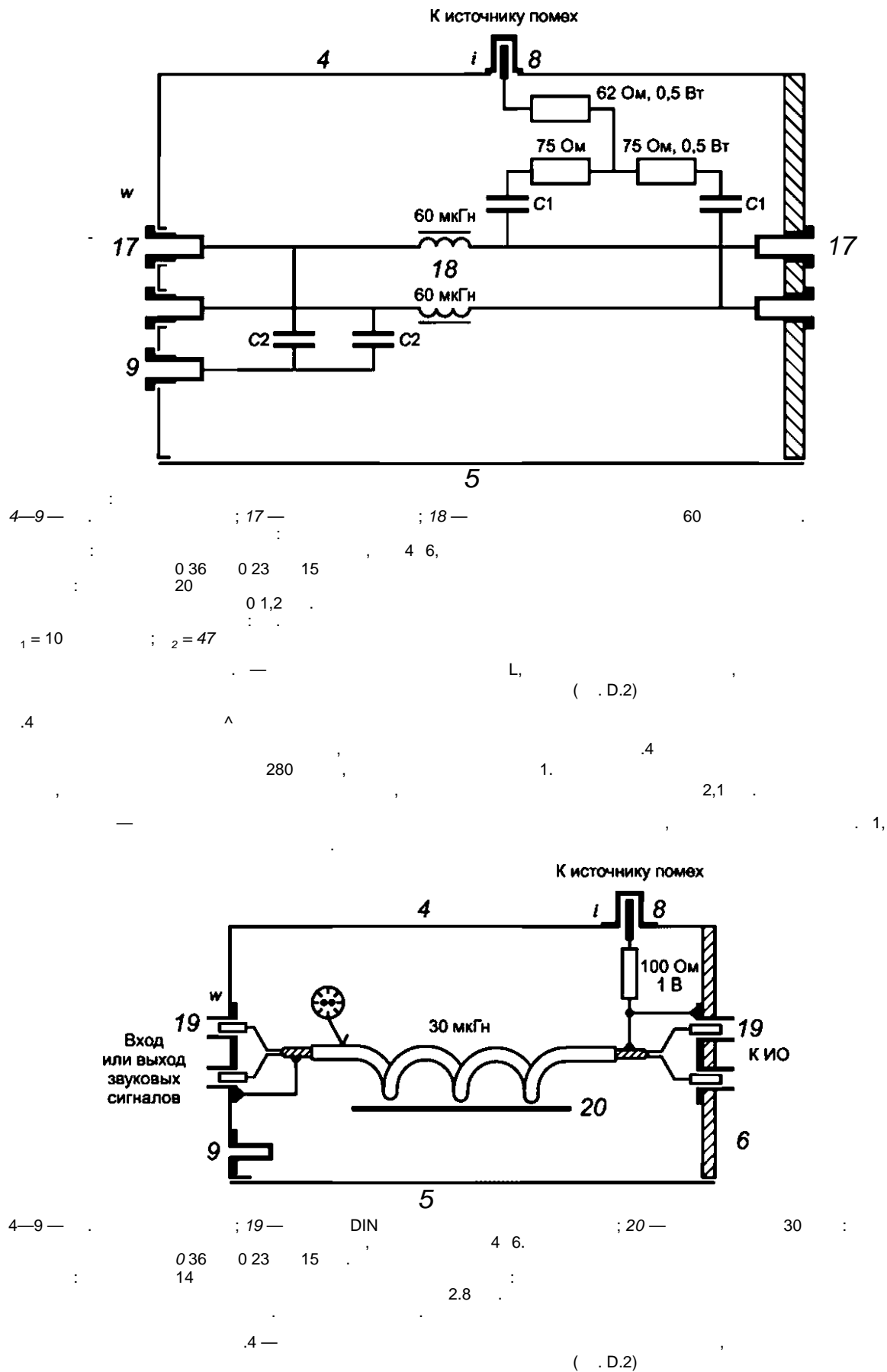
$$4-9 - .1; 11 - \\ (2 + ); 15 -$$

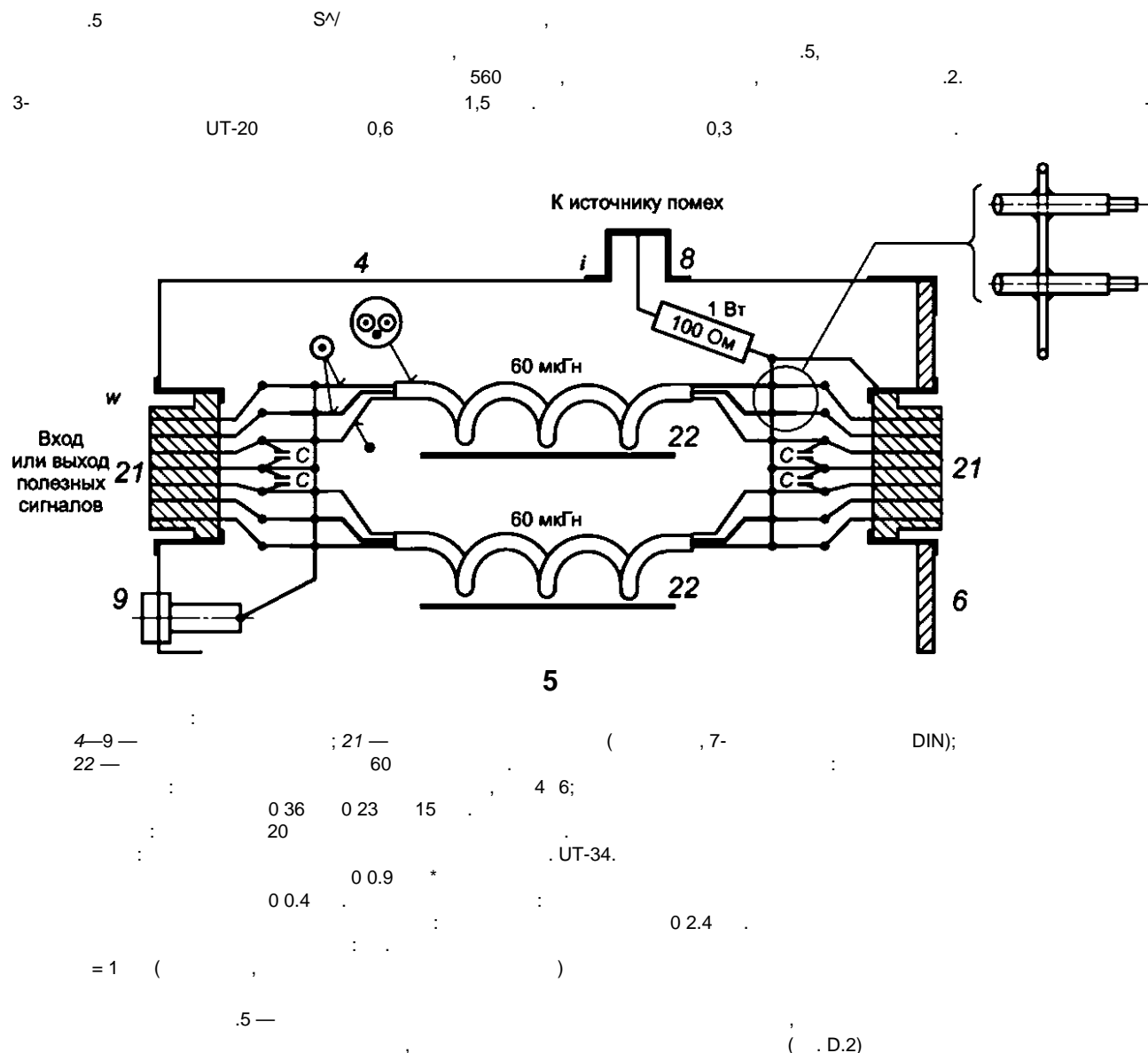
( 4 6. 0 36 23 15 20 «  
 0.8 . 0 0.8

.2 -

( . .2 D.2)

<i>L</i>				<i>L</i>
	560		$_1 = 47$	
	560	:		$_2 = 0.22$
—		,      4    6		
— 36	— 23	,      — 15		— 56
,	— 0.4			
—		4    6:		
			$, = 120;$	
-	tg 5 < 40	2	, tg /jij < 100	10
«		= 10		





D  
(      )

6.

D.

D.1.  $UC_2$  [  
 $\langle \langle$  (AuxEq)];  $L$   
 $/$      1     2  $\rangle \rangle$ .  
 $R_j = 100$

50      $C_t ($      ).

D.

1.  $100 ($      50      $)$  150 (

)

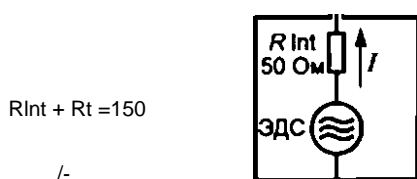
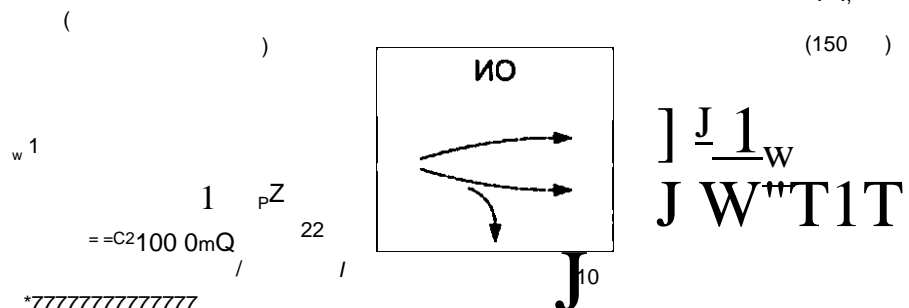
2.  $100 ($      150  $)$

L:

 $S_r$       $S_{jy}$ 

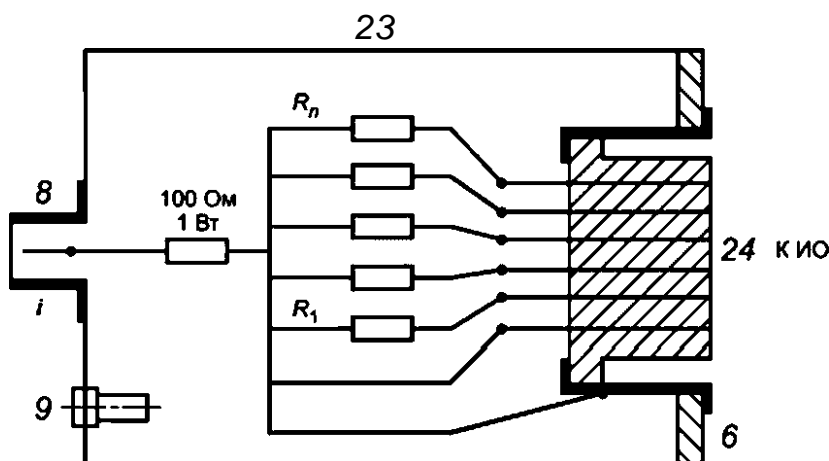
S/

D.2.  $100 ($      ) 100  
 $($       $R_n Y$      )  
 $,$      4     5.  
 $150$      ,  
 $2$      60     ,  
 $0,15$      30     ,  
 $280$      ,  
 $1.5$      150  
 $2$      560     ,  
 $50$      ,  
 $1—5.$      30



$L$  — / ;  $C_v$  — / , ( . D.1)

D.1 — ( . D.1)



DIN;

$R_y - R_n -$

$S_r$

— ;  
•  $-2 * 2,2$  ;  
•  $-2 * 470$  ;  
•  $-2 * 600$  ;  
•  $-2 * 47$  ;  
•  $-4 * 47$  ;  
— /  $-4 * 47$  ;

D.2 —

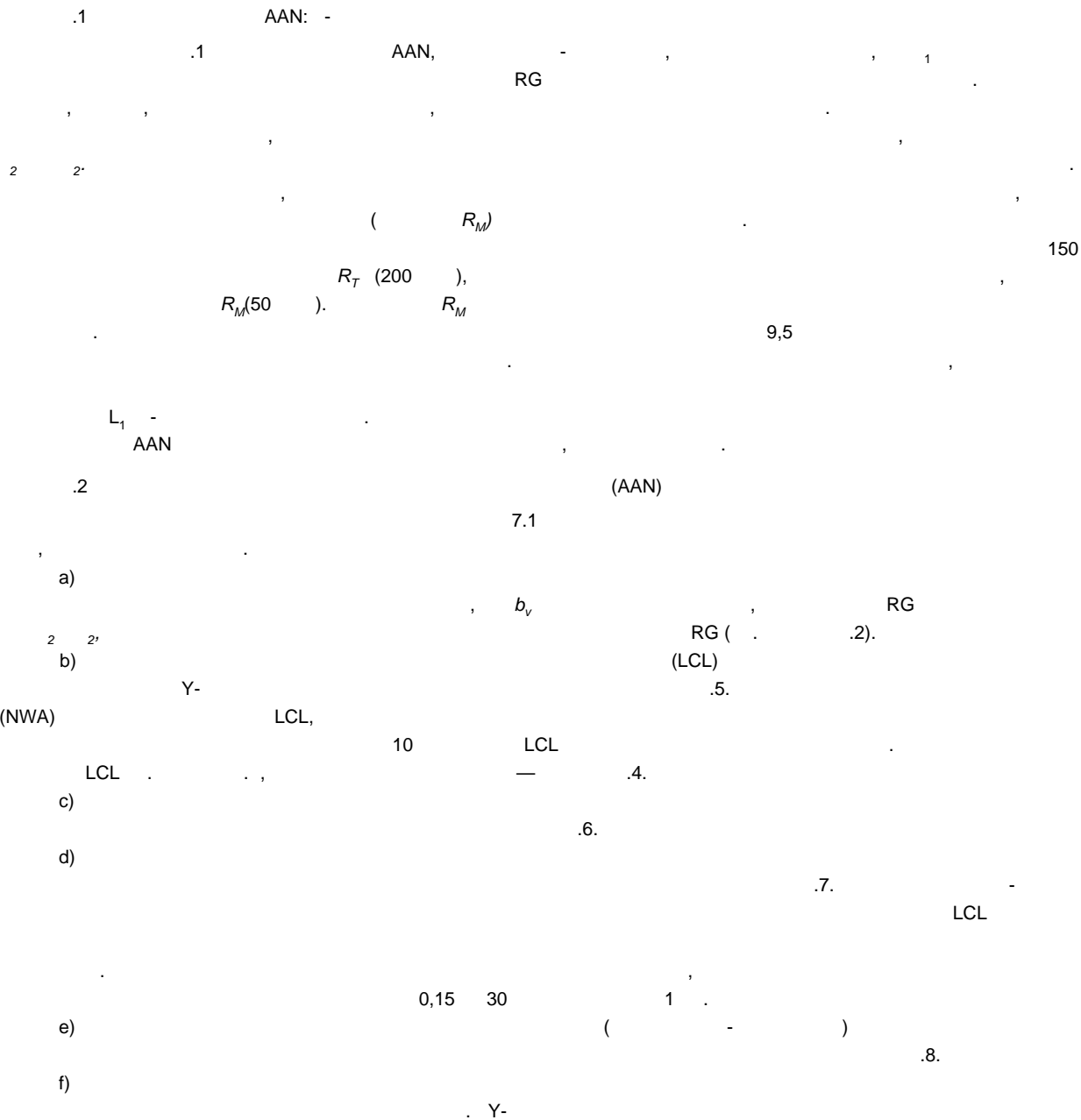
$S_{rC}$

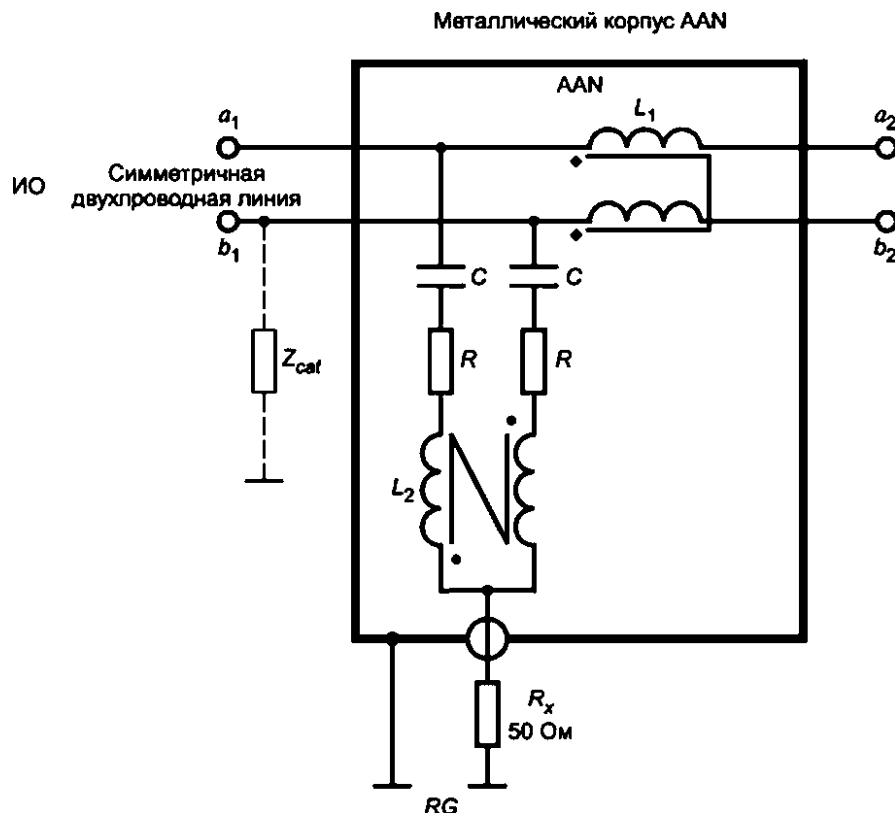
( . D.2)

## CISPR 16-1-2—2016

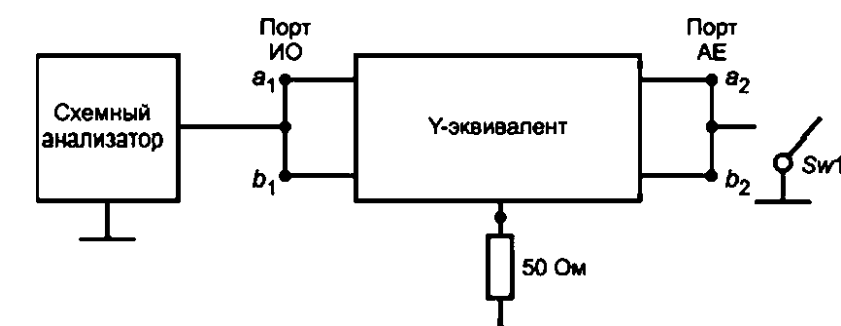
( )

(AAN)

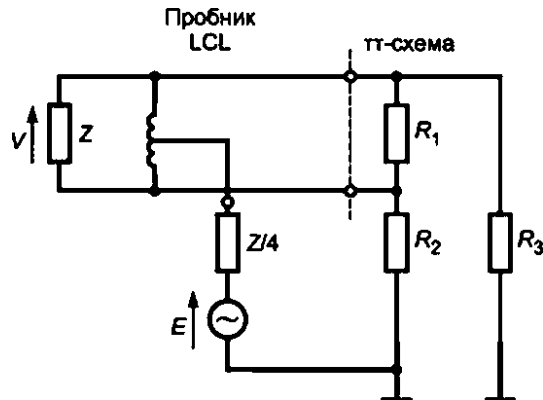




4.7 ;  $R \ll 200$  ;  $L_1 = 2.36$  ;  $^{8}2.38$  ; - , ;  $R_x$  — ;  
 $RG$  — .  
 1 — 9,5 .  
 2 —  $Z_{car}$  , LCL.  
 .1 — - .



— ), , ( . .  
 .2 —



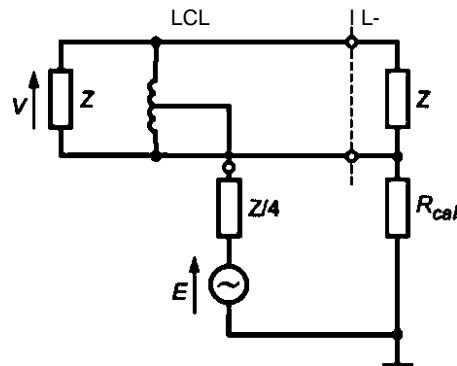
$$(R_2 = R_3),$$

7

$$_1,\quad R_2$$

$$\begin{array}{ccccccc}
 & & & & & & \\
 & , & & & & & \\
 & LCL, & & & 20 & & \\
 Z - 100 & R_y - 120 & & R_2 = & _3 = 300 & & \\
 & 2 - & & & LCL & & \\
 & 3 - & & Z = 100 & & Z/4 & \\
 & 4 - & & & & &
 \end{array}$$

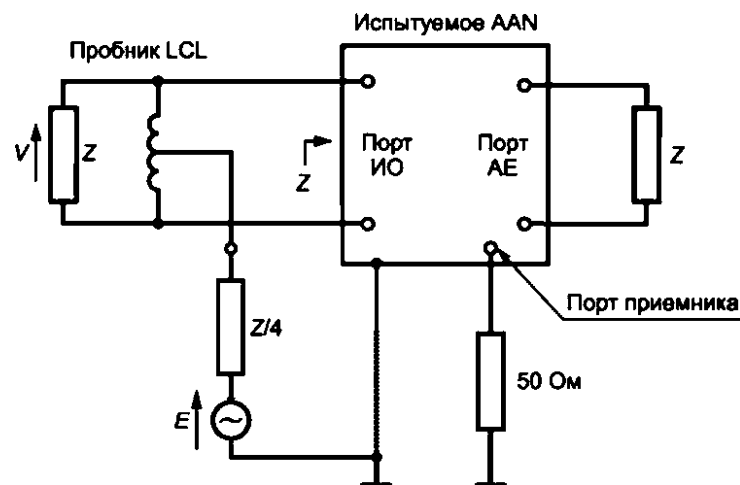
( 5 — G.117 - [7]). LCL =  $20 \lg V$



1— , , (LCL) L-

"| c | =<sup>20</sup>|9 ( ^sym//2 > + 4Rcai + Z

2 — LCL , .  
 L- LCL  
 L-  
 3 — L- : Z= 100 R<sub>sym</sub> = 100  
 LCL, 29,97, 30 .  
 ^cai= 750

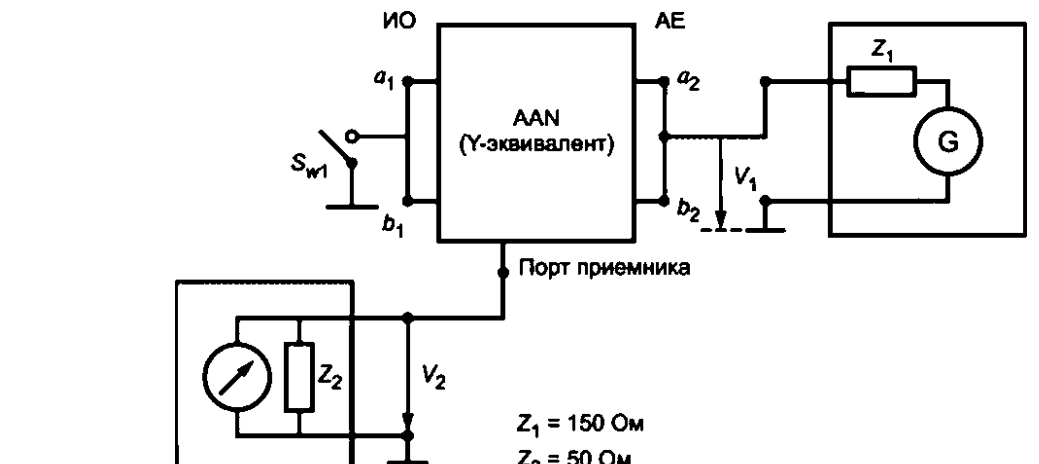


1 — LCL . . .  
2 — LCL . . . LCL

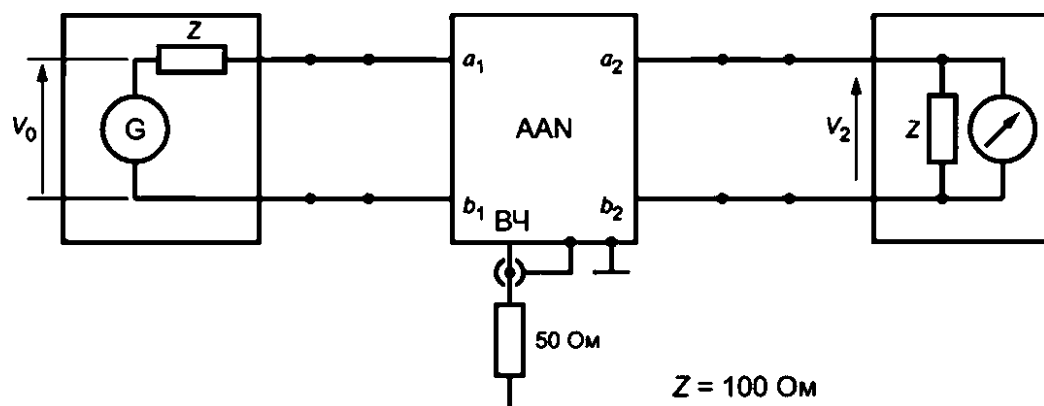
LCL

3 — ), LCL (AAN) ( ) ( ) ( . . .

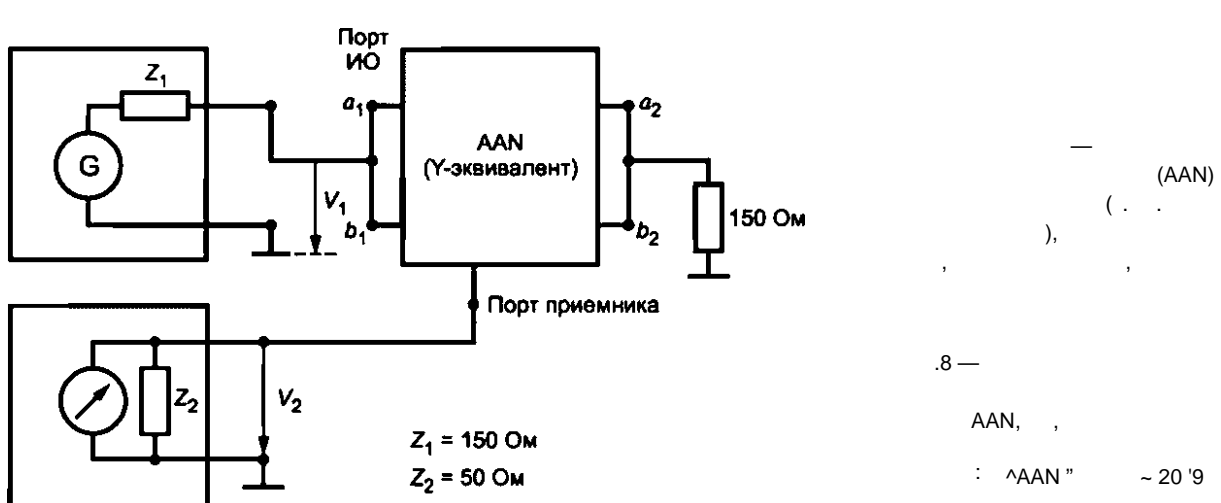
.5 — LCL (AAN)  
LCL



.6 — ( ) AAN  
 $S_{W1} ($   
 $V_2 = 201 \text{ mVdrv}$ )



.7 — ( ) AAN



F  
(      )

(AN)

F.1 (AN)

F.1 AN

(      ),

8

(      ,

).

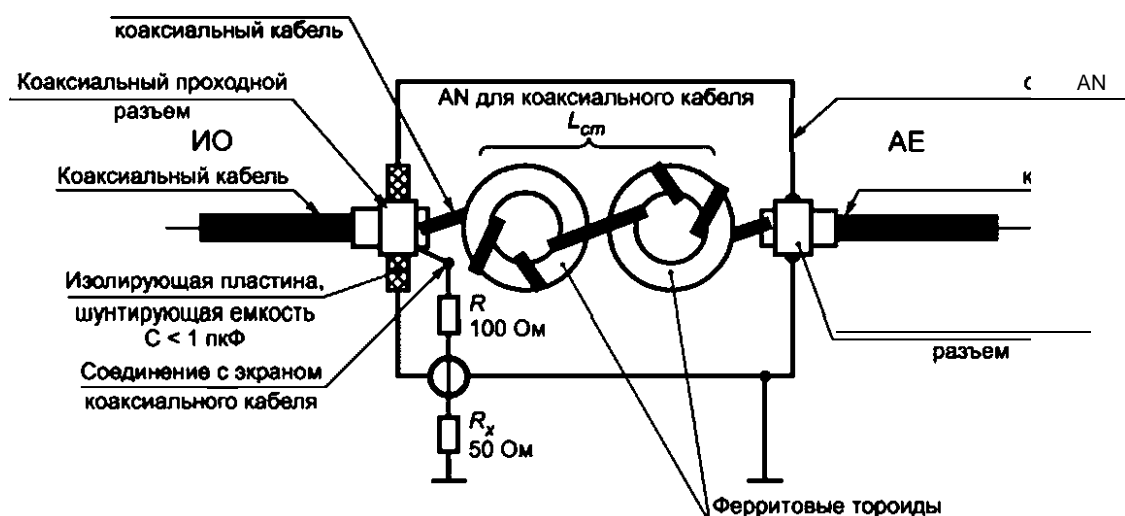
F.2 (AN)

a)

(

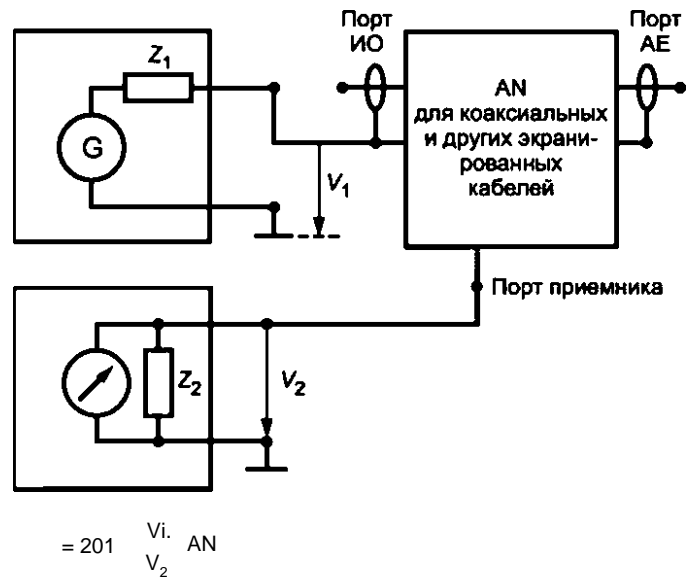
b)

F.2. AN



$$; R_x — ; R_x — < 1$$

F. 1 — AN



F.2

$$\dots F_M = 20 \lg \frac{V_i}{V_2} \text{ AN}$$

(                  )  
G

—

## 5.2.2.

G.1

8

(CVP).

G.2

(CVP)

G.1

,

/

G.2

G.3

G.3

a)

1 —

 $F_{\text{cvp}}$ 

(G.3),

b)

c)

G.3).

d)

2 —

e)

/

()

10

)

50

-1

50

-2

h)

50

 $V_m$ 

V

-2

i)

$$F_{\text{cvp}} = 20 \lg|WV^{\wedge}|$$

## CISPR 16-1-2—2016

6.4

6.4.1

G.4  
G.4 ),  
1

2

V

G.4 ),

( ). G.4.2

V  
G.4.2

$$|Z_s| \ll |1/( )|$$

G.5.

- a)
- b)
- c)

$$F^p = 20 \lg| V/V^J |$$

G.3.

s, 1 ( . G.5).

d)

10

50

-1

e)

-2

50

 $V_s$ 

f)

50

 $V_{sm}$ 

-2

)

$$F_s = F^p / (V/V^J).$$

6.5

(CVP)

4

CISPR 16-1-

1 2010,

.1 CISPR 16-1-1:2010,  
0,316 0,15 30  
30

$$t = 1/0tf_m).$$

(G.1)

 $f_m = 30$  $t = 0,0106$ 

$$= 0,316/ = 29,8V.$$

(G.2)

,  
30

 $F_{cvp}$ 

30

6.6

CVP.

G.6

).

CVP

0,8.

G.7

F<sup>Ap</sup>

$$\left\{ 1 + \frac{1}{C_p} \frac{2\pi c}{\ln \frac{b}{a}} d \right\}$$

$$\left\{ 1 + \frac{1}{C_p} \frac{2\pi c}{\ln \frac{b}{\alpha_{ref}}} d \right\} \quad (G.3)$$

b d —

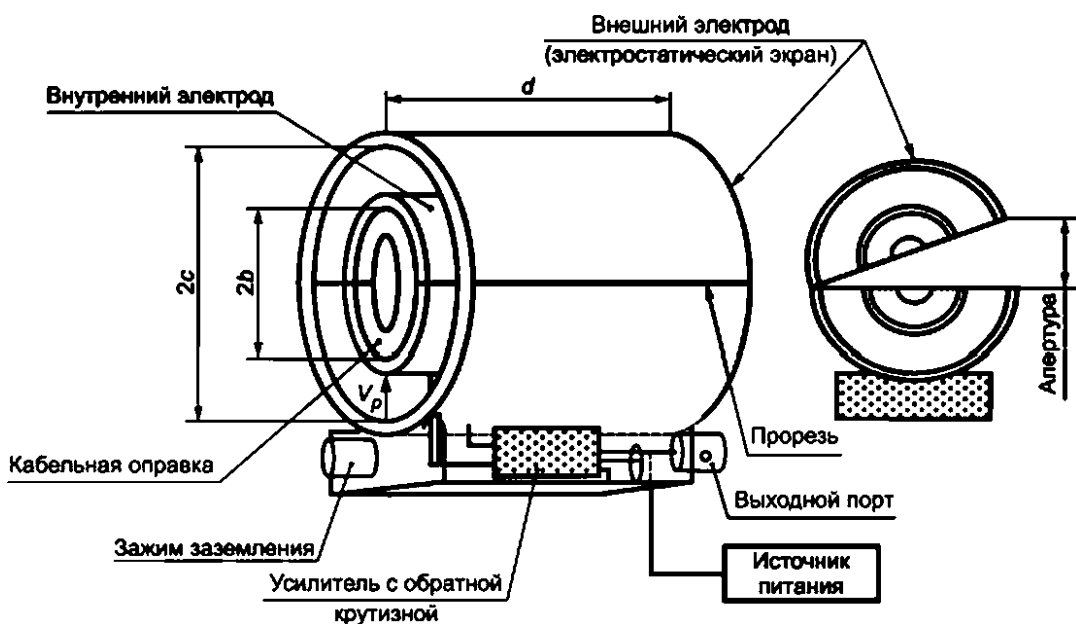
G.1.

1 12.

G.7

2

(G.3),

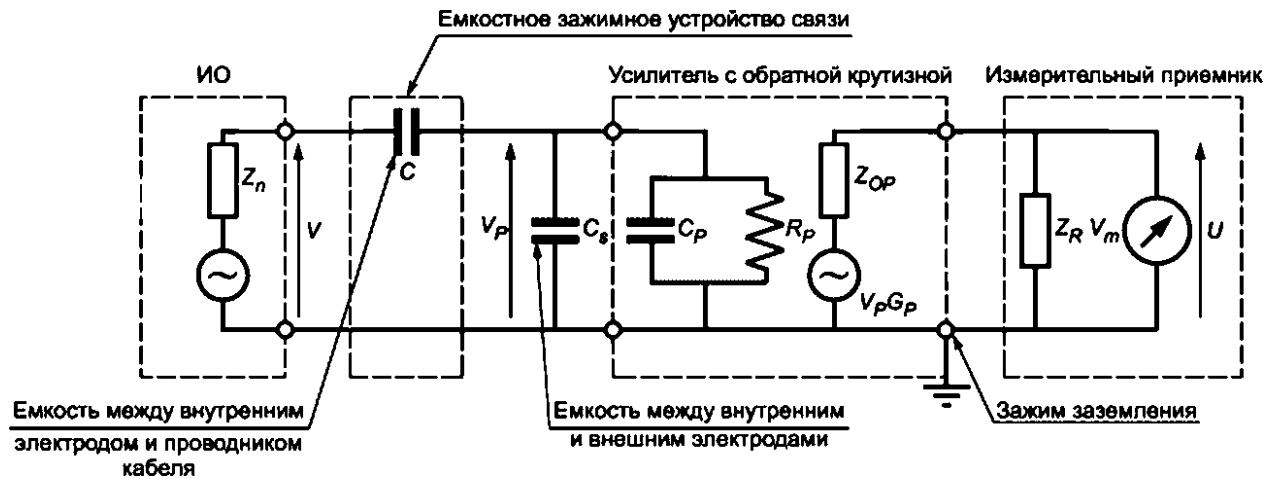


1)

2)

G.1 —

(CVP)



G.1

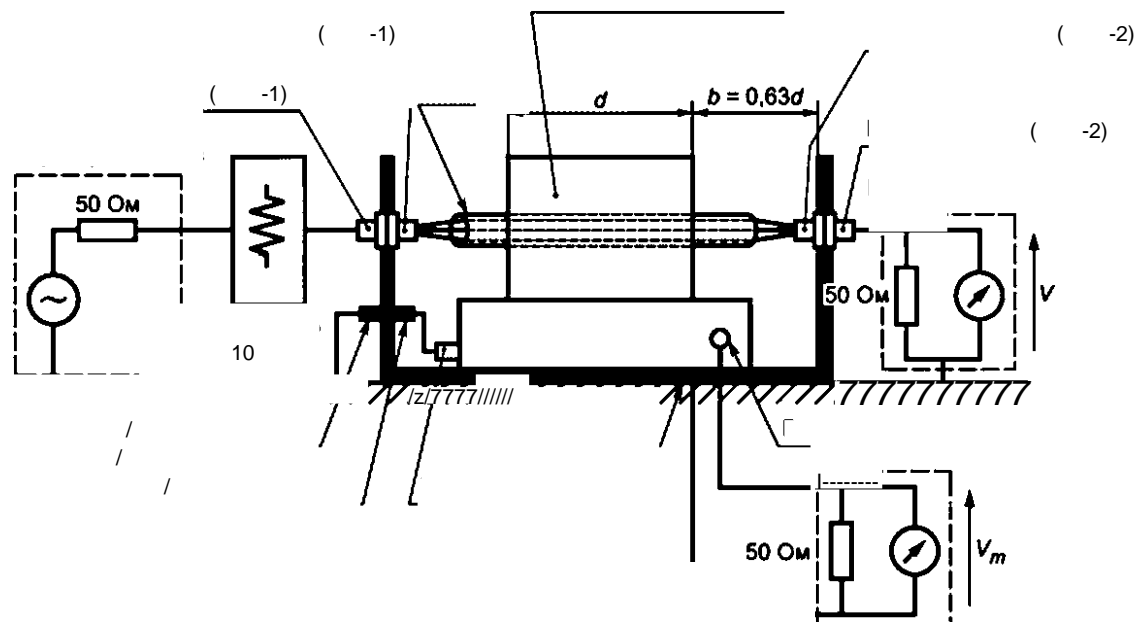
$$\begin{aligned}
 & 25 \quad ; \\
 & 55 \quad ; \\
 d & 100 \quad ; \\
 & 8 \quad ; \\
 & ( \quad 26 \quad )
 \end{aligned}
 \quad
 \begin{aligned}
 & 5 \quad . \\
 & 1 \quad ; \\
 1^\wedge & «|1/( )|»; \\
 r_P & »|1/( 5^* )|»; \\
 z^\circ P & = Z_f = 50 \quad .
 \end{aligned}$$

 $C_s$  7

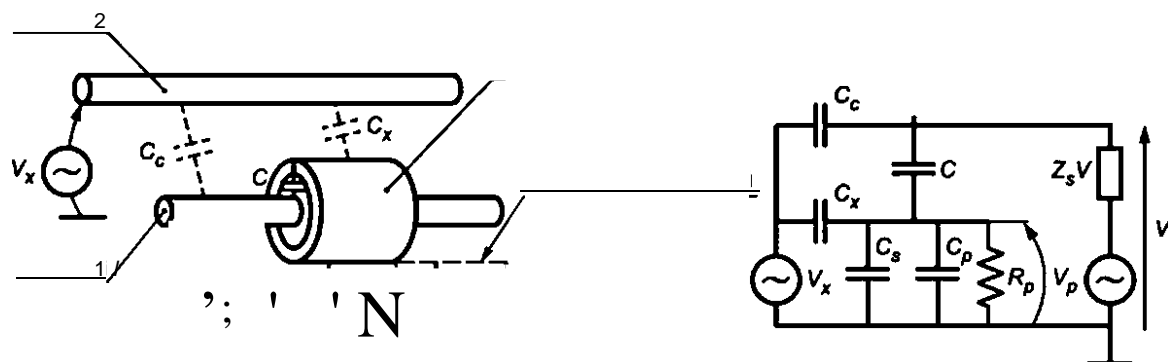
5.1.3.

G.2 —

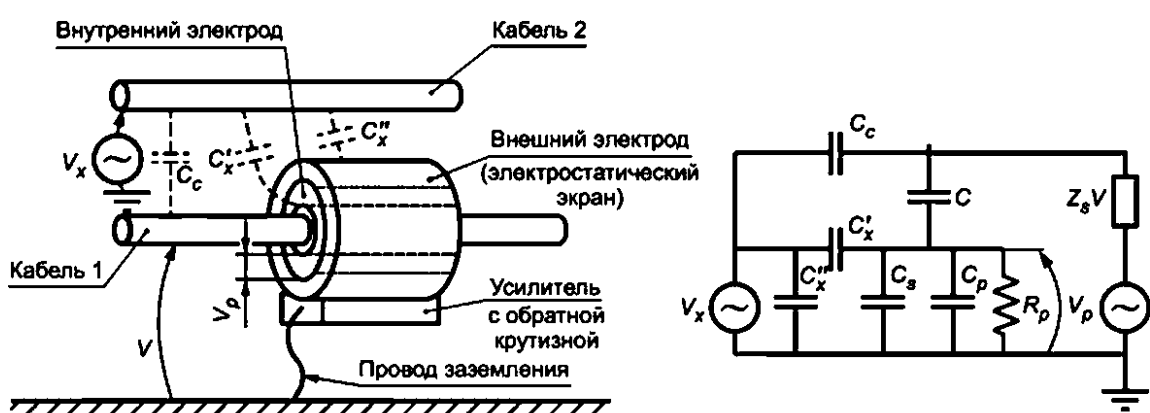
(CVP)



G.3 —



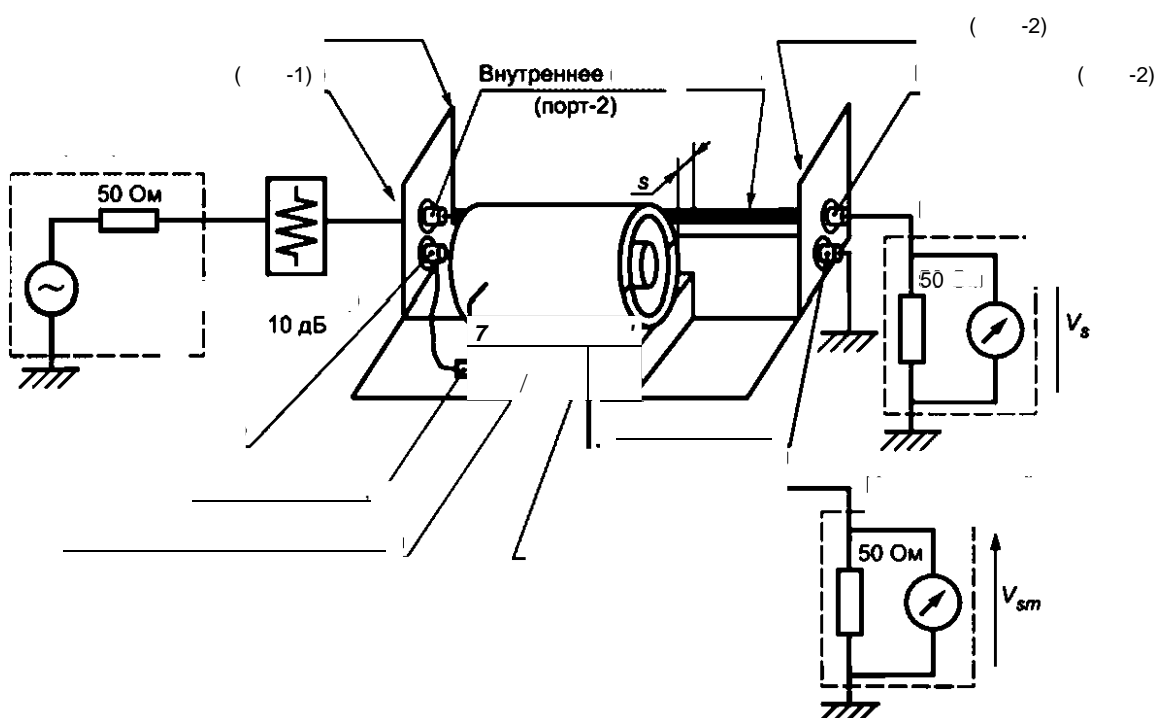
)



)

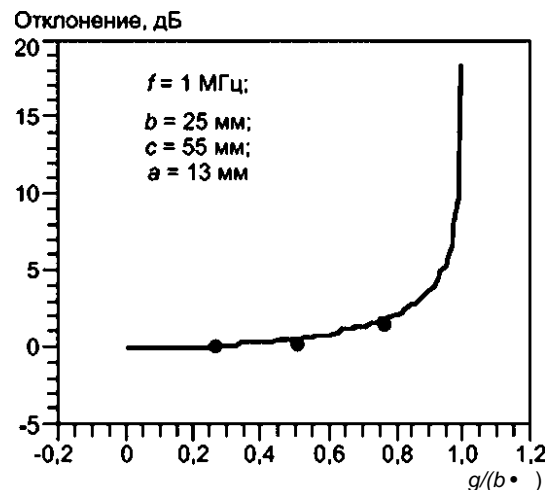
G.4 —

et



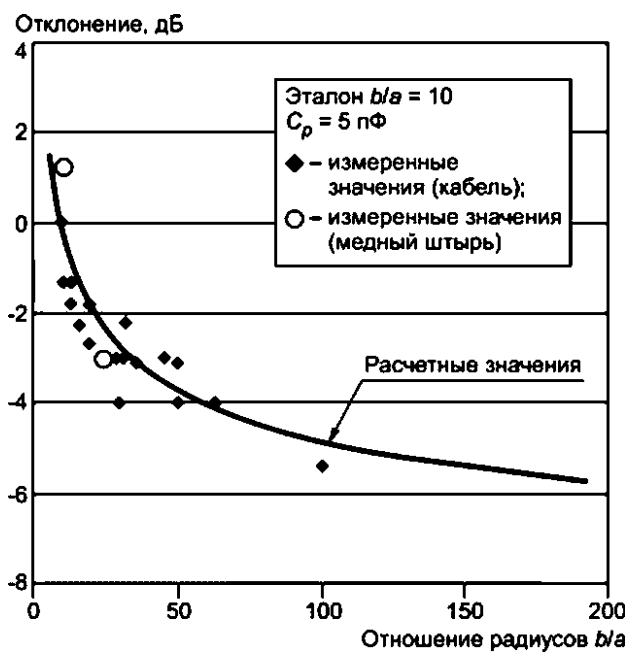
s —

G.5 —



а— ;  $b$ — ; — ; — ;

G.6 —



— ;  $b$ — ;

— ,  $b/$  10. ( ^ )

G.7 —

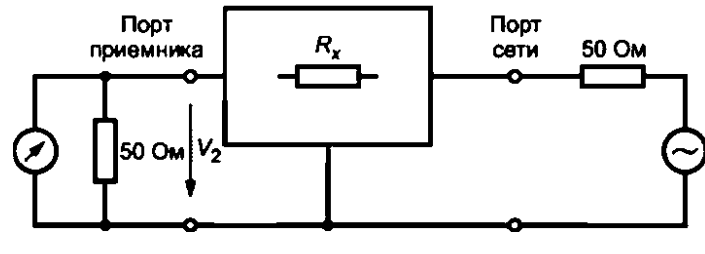
(        )

I V- (V-AMN)

V-AMN

V-

40 дБ



; 4.8.2

 $V_2$ 

50

 $V_2$ 

.1 —

;

$$R_x = 4\ 950$$

$$40 [20 \lg(V_j/V_2)].$$

1 %.

AMN

4.8).

20 %

40

1 %.

CISPR 16-4-2

40

(

40

1 %

AMN

0,13

( 2,6 —

2,6

,

,

,

).

40 (        )

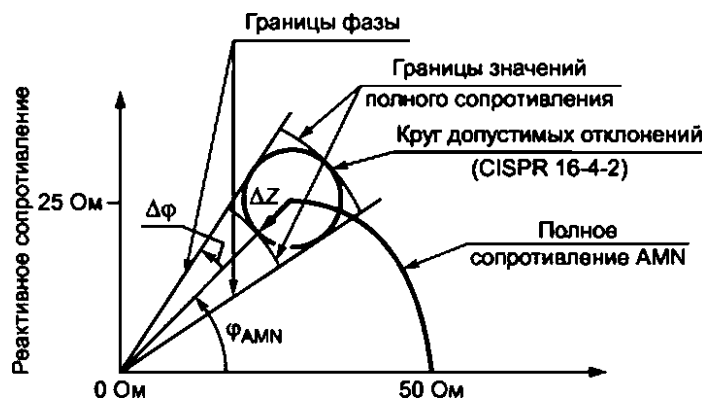
## CISPR 16-1-2—2016

( ) |

V-  
(V-AMN)

BCISPR16-4-2

« » AZ^, ( . . . 1.1),



1.1 —

,  
CISPR/TR 16-4-1  
= 11,54       $A|Z|/|Z| = 0,2.$

V-  
V-AMN.  
(15) CISPR/TR 16-4-1:2009:

$$\frac{AVm}{z_{d0}} + \ll \frac{1}{v_{d0} z_d + z_n} \left( \frac{z_d}{z_{d0}} \right)$$

$\overline{Z_{13}}$  — V-AMN;  
 $\overline{z_m} \sim \star >$  ( . . . );  
 $Z^q, \overline{z_m}$  — V-AMN;  
 $cig$  —  
 $\wedge, \wedge, AZ^q, AZ_d$  —

$\wedge AZ_d$  , , (17) CISPR/TR 16-4-1:2009,

$$\frac{-\overline{z_m}}{\overline{z_d} + \overline{z_m}} \left( \frac{AZ_{in}}{Z_{13}} \right) = c_2 \cdot \frac{AZ_{in}}{Z_{13}}. \quad (I.2)$$

?  
 $Z^q = Z_{EUT}$       17 CISPR/TR 16-4-1:2009       $= \wedge = \langle P_a \wedge N \sim \wedge EUT$

1      1  
 $(0^\circ, -45^\circ, -90^\circ).$        $^2 (0^\circ, 30^\circ, 46^\circ), |Z^q/Z^q| (0,1; 0,2; 0,4; 0,8; 1,0; 1,4)$       (“23°;  
 $-11,5^\circ; 11,5^\circ; 23^\circ).$        $AZfr/Z_{13}$

$0,2 ( . . . ),$

(I.3)

$$= 20 \lg p - \left( \frac{V_m}{V_{mt}} \right) \quad (I.4)$$

$= 11,5^\circ \quad 23^\circ, \quad , \quad 2 \ll \quad \wedge \text{go.}$   
 $\vdots$   
 $(\quad = 0^\circ \quad = 0^\circ:$   
 $c P_{\text{out}} = -45^\circ \quad = 46^\circ:$   
 $\wedge \S = 0,018 \quad (\text{max})$   
 $(\text{feu-}, - = -45^\circ \quad q >_{\text{AMN}} 30^\circ:$   
 $\wedge_5 = 0,27 \quad (\text{max})$   
 $= "90" \quad \wedge - 46^\circ:$   
 $\wedge_5 = 0,86 \quad (\text{max})$   
 $\wedge_5 = 3,07 \quad (\text{max}).$   
 $\vdots$   
 $\wedge \text{ - } \quad \wedge \quad 11,5^\circ \quad 23^\circ$   
 $) \quad \wedge \text{ - } \quad \wedge \text{ - } \quad \wedge \text{ - } \quad \wedge \text{ - }$   
 $\vdots$   
 $V-\text{AMN} \quad | \quad V-\text{AMN.}$   
 $V-\text{AMN} \quad , \quad 1 = \wedge -5^\circ$   
 $\vdots$   
 $17 \text{ CISPR/TR 16-4-1:2009.}$

CISPR 16-1-2—2016

( )

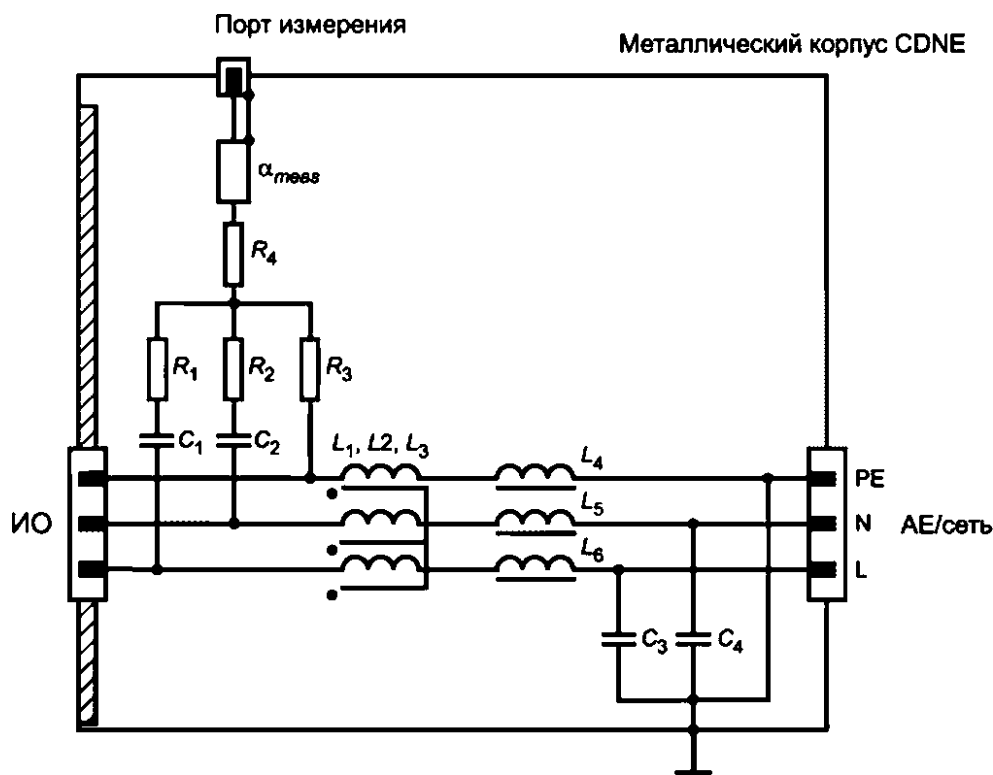
/ ,  
(CDNE)

### J.1 CDNE-M2 CDNE-M3

J.1 J.2  
II.

CDNE

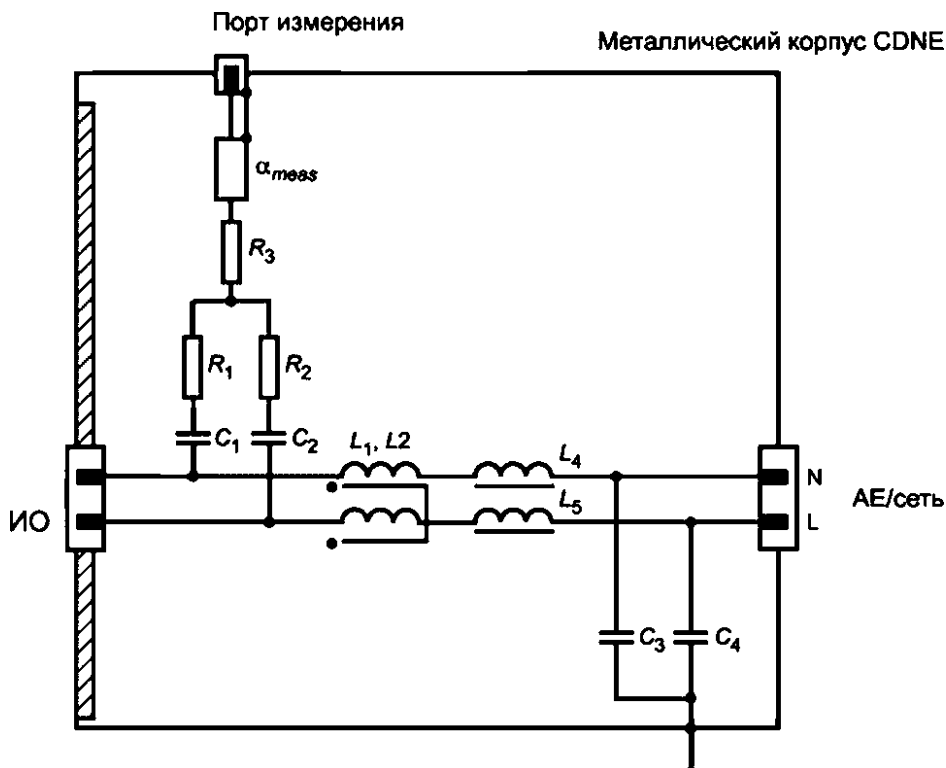
1



" 2' 3' 4' « 1 ; L<sub>1</sub> L<sub>2</sub>, L<sub>3</sub> > 10 ; t<sub>4</sub>, 5 ; R<sub>v</sub> R?, R\$ » 50 ; R<sub>4</sub> » 83.3 ;

J.1 — CDNE-M3

6



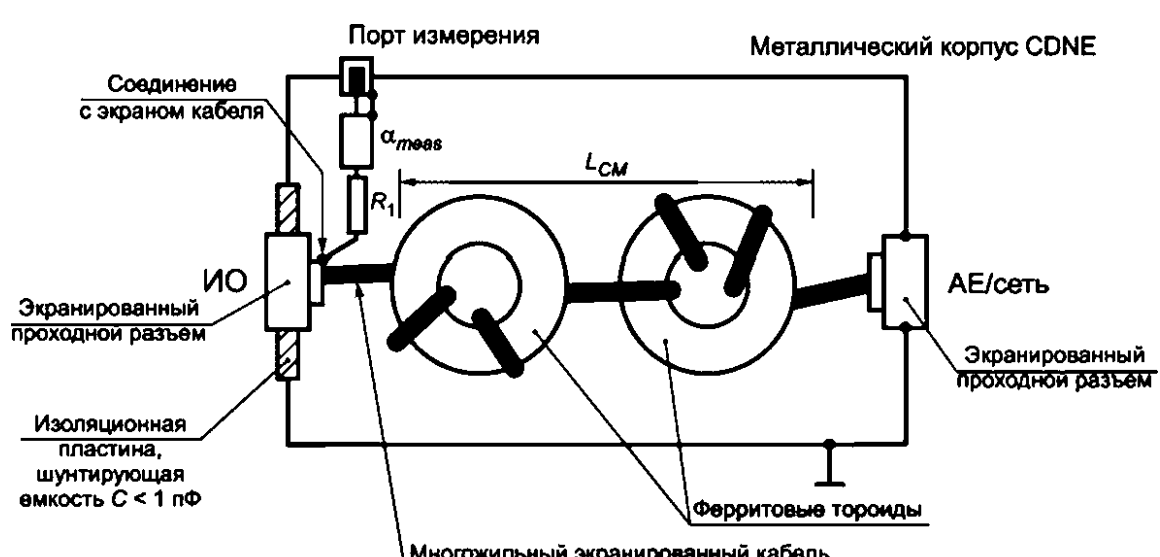
,  $\alpha_2 = 3$ ,  $\alpha_4 = 1$ ;  $\alpha * 10$  . ,  $L_4 > 5$  ;  $\leq 50$  ;  $\alpha_3 = 75$  ;  $\alpha_{\text{m?}} \leq 6$  ; N — ; L —  
 — /  
 / .

J.2 — CDNE-M2

6

J.2 CDNE-Sx

J.3 CDNE-Sx



,  $\alpha = 100$  ;  $L_{CM} > 10$  ;

J.3 — CDNE-Sx

6

CISPR 16-1-2—2016

( )

.1

CISPR 16-1-1:2010	MOD	30805.16.1.1—2013 (CISPR 16-1-1:2006) « 1-1. »
CISPR 16-2-1:2014	IDT	CISPR 16.2.1—2015 « 2-1. »
CISPR 16-4-2:2011	IDT	CISPR 16-4-2—2013 « 4-2. »
IEC 61000-4-6:2008	—	*

- [1] CISPR 16-2 (all parts), Specification for radio disturbance and immunity measuring apparatus and methods — Part 2: Methods of measurement of disturbances and immunity 2.
  - ( )
  - [2] CISPRHR 16-3, Specification for radio disturbance and immunity measuring apparatus and methods — Part 3: CISPR Technical reports 3.
  - [3] CISPR 16-4 (all parts), Specification for radio disturbance and immunity measuring apparatus and methods — Part 4: Uncertainties, statistics and limit modeling 4.
  - ( )
  - [4] CISPR/TR 16-4-1:2009, Specification for radio disturbance and immunity measuring apparatus and methods — Part 4-1. Uncertainties, statistics and limit modeling — Uncertainties in standardized EMC tests
  - 4-1.
  - ,
  - [5] CISPR 22, Information technology equipment — Radio disturbances characteristics — Limits and methods of measurement
  - [6] ISO/IEC Guide 99. International vocabulary of metrology — Basic and general concepts and associated terms (VIM)
  - [7] ITU-T Recommendation G.117, Transmission aspects of unbalance about earth
  - ,
  - [8] ITU-T Recommendation 0.9. Measunng arrangements to assess the degree of unbalance about earth
  - [9] Macfarlane I.P., A probe for measurement of electrical unbalance of networks and devices, IEEE Transactions on EMC, Feb.1999, vol 41. N 1, p. 3—14
  - [10] Mit Staff. Magnetic circuits and transformers, John Wiley & Sons, Inc, New-York, 1947

CISPR 16-1-2—2016

621.396/.397.001.4:006.354

33.100.10  
33.100.20

IDT

04.09.2017. .< 6 «84¹/₀.  
7. .- . 7,57. 12 . . 1631.

« >. 123001 . .. 4.  
www.gostinfo.ru info@gostinfo.ru